

PROGETTO DEFINITIVO PER LA REALIZZAZIONE DI UN IMPIANTO EOLICO DELLA POTENZA COMPLESSIVA DI 85,8 MW E RELATIVE OPERE DI CONNESSIONE ALLA R.T.N. DA REALIZZARE NEL COMUNE DI CERIGNOLA, NELLE LOCALITA' LA MOSCHELLA E BELLAVEDUTA

RELAZIONE GEOTECNICA

COD. ELABORATO

CRE-CIV-REL-026_01

PROPONENTE



Edison Rinnovabili Spa

Sede legale: Milano (MI),
Foro Buonaparte, 31 - 20121
P.IVA 12921540154
PEC: rinnovabili@pec.edison.it

PROGETTISTI



PHEEDRA
Our passion, your expression.

PHEEDRA S.r.l. Via Lago di Nemi, 90
74121 - Taranto
Tel. 099.7722302 - Fax 099.9870285
e-mail: info@pheedra.it - web: www.pheedra.it

Direttore Tecnico: Dott. Ing. Angelo Micolucci



Consulenti esterni

Dott. Agr. Luigi Lupo

Dott. Ing. Marcello Latanza

Dott. Archeol. Fabio Fabrizio

Dott. Geol. Antonio Fusco

COORDINATORE DEL PROGETTO



PHEEDRA
Our passion, your expression.

PHEEDRA S.r.l. Via Lago di Nemi, 90
74121 - Taranto
Tel. 099.7722302 - Fax 099.9870285
e-mail: info@pheedra.it - web: www.pheedra.it

1	DIC 2023	MS	AM	VS	Progetto Definitivo
EM / REV	DATA	REDATTO	VERIFICATO	APPROVATO	DESCRIZIONE

Committente: Edison Rinnovabili S.p.A. Foro Buonaparte 31 20121 Milano (MI)	PROGETTO PER LA REALIZZAZIONE DI UN PARCO EOLICO NEL COMUNE DI CERIGNOLA (FG) NELLE LOCALITÀ "LA MOSCHELLA" E "BELLAVEDUTA"	Nome del file: CRE-CIV-REL-026_01
---	--	---

Sommario

1.	PREMESSA	2
2.	NORMATIVA DI RIFERIMENTO	3
3.	PROPRIETÀ FISICHE E MECCANICHE DEI TERRENI	3
3.1.	Caratteristiche geotecniche dei terreni.....	5
4.	CARATTERISTICHE SISMICHE	8
5.	CRITERI DI PROGETTO, MODELLAZIONE GEOTECNICA - VERIFICHE	9
5.1.	Determinazione della portanza verticale di fondazioni profonde.....	10
5.2.	Carico limite verticale alla punta del palo	11
5.3.	Carico limite verticale lungo la superficie laterale del palo	16
6.	TABULATI DI CALCOLO	19
6.1.	Simbologia adottata nei tabulati di calcolo.....	19
6.2.	Parametri di calcolo.....	21
6.3.	Combinazioni di carico	21
6.4.	Archivio stratigrafie.....	22
6.5.	Archivio terreni	22
6.6.	Dati geometrici degli elementi costituenti le fondazioni profonde	22
6.7.	Valori di calcolo della portanza per fondazioni profonde	26
6.8.	Valori di calcolo dei cedimenti per fondazioni profonde.....	31

1. PREMESSA

Nella presente relazione è descritto, il dimensionamento delle fondazioni di un impianto eolico composto 13 aerogeneratori ognuno da 6,6 MW per un totale di 85,8 MW, da installare nel comune di Cerignola (FG) nelle località "La Moschella" e "Bellaveduta" con opere di connessione ricadenti nel medesimo comune, commissionato dalla società Edison Rinnovabili S.p.A.

In particolare, tale parco eolico, costituito in totale da n° 13 aerogeneratori, coinvolge un'areale di territorio non omogenea ed in particolare costituito da differenti caratteristiche geologiche e litostratigrafiche, per cui sono state previsti approfonditi studi al fine di definire la geometria per le fondazioni per gli aerogeneratori.

Le elaborazioni di seguito proposte sono da considerare indicative e dovranno essere necessariamente supportate in una fase successiva da indagini in sito e di laboratorio, per meglio caratterizzare i litotipi presenti nel sottosuolo delle diverse aree interessate e individuarne le caratteristiche geotecniche e meccaniche.

Gli aerogeneratori sono localizzabili alle seguenti coordinate, espresse con datum WGS84 e proiezione UTM 33 N:

TURBINA	E (WGS84) [°]	N (WGS84) [°]
WTG01	15.8094	41.1445
WTG02	15.8200	41.1441
WTG03	15.8288	41.1443
WTG04	15.8363	41.1460
WTG05	15.8413	41.1484
WTG06	15.8529	41.1524
WTG07	15.8423	41.1659
WTG08	15.8329	41.1641
WTG09	15.8256	41.1685
WTG10	15.8335	41.1744
WTG11	15.8214	41.1745
WTG12	15.8038	41.1754
WTG13	15.7947	41.1752

Le turbine sono identificate ai seguenti estremi catastali:

TURBINA	COMUNE	FOGLIO	PARTICELLA
WTG01	CERIGNOLA	441	335
WTG02	CERIGNOLA	441	4
WTG03	CERIGNOLA	441	113
WTG04	CERIGNOLA	441	116
WTG05	CERIGNOLA	431	11
WTG06	CERIGNOLA	433	118
WTG07	CERIGNOLA	438	11

Committente: Edison Rinnovabili S.p.A. Foro Buonaparte 31 20121 Milano (MI)	PROGETTO PER LA REALIZZAZIONE DI UN PARCO EOLICO NEL COMUNE DI CERIGNOLA (FG) NELLE LOCALITA' "LA MOSCHELLA" E "BELLAVEDUTA"	Nome del file: CRE-CIV-REL-026_01
---	---	---

TURBINA	COMUNE	FOGLIO	PARTICELLA
WTG08	CERIGNOLA	439	58
WTG09	CERIGNOLA	419	21
WTG10	CERIGNOLA	419	91
WTG11	CERIGNOLA	419	197
WTG12	CERIGNOLA	418	7
WTG13	CERIGNOLA	407	2

La Futura Stazione Elettrica RTN 150/380/36 kV è invece localizzabile alle seguenti coordinate: 570498 E, 4568102 N, identificabile a livello catastale al Foglio 196 – Particelle 4 e 135 del Comune di Cerignola (FG).

2. NORMATIVA DI RIFERIMENTO

In quanto di seguito riportato viene fatto esplicito riferimento alle seguenti Normative:

- **LEGGE n° 64 del 02/02/1974.** "Provvedimenti per le costruzioni, con particolari prescrizioni per le zone sismiche.";
- **D.M. LL.PP. del 11/03/1988.** "Norme tecniche riguardanti le indagini sui terreni e sulle rocce, la stabilità dei pendii naturali e delle scarpate, i criteri generali e le prescrizioni per la progettazione, l'esecuzione e il collaudo delle opere di sostegno delle terre e delle opere di fondazione.";
- **D.M. LL.PP. del 16/01/1996.** "Norme tecniche per le costruzioni in zone sismiche.";
- **Circolare Ministeriale LL.PP. n° 65/AA.GG. del 10/04/1997.** "Istruzioni per l'applicazione delle "Norme Tecniche per le costruzioni in zone sismiche" di cui al D.M. 16/01/1996.";
- **Eurocodice 1 - Parte 1** - "Basi di calcolo ed azioni sulle strutture - Basi di calcolo -.";
- **Eurocodice 7 - Parte 1** - "Progettazione geotecnica - Regole generali -.";
- **Eurocodice 8 - Parte 5** - "Indicazioni progettuali per la resistenza sismica delle strutture - Fondazioni, strutture di contenimento ed aspetti geotecnici -.";
- **D.M. 17/01/2018 – AGGIORNAMENTO DELLE NUOVE NORME TECNICHE PER LE COSTRUZIONI**
- **Circolare n. 7 del 21/01/2019**

3. PROPRIETÀ FISICHE E MECCANICHE DEI TERRENI

Nell'area in esame si possono individuare due blocchi riferibili cronologicamente ad altrettanti periodi; il primo, più antico, interessa la serie dei depositi preplioceni, mentre il secondo è caratterizzato dalla presenza della serie plio-pleistocenica che ricopre gran parte del **Foglio 175 della Carta Geologica D'Italia ("Cerignola")**. Esso, tra l'altro, risulta essere il terreno fondale dell'intervento di progetto pertanto sarà descritto dettagliatamente. (di seguito si allega una schematizzazione dei rapporti stratigrafici).

Si tratta complessivamente di una serie sabbiosa-argillosa con episodi conglomeratici alla base ed alla sommità; pertanto, essa rappresenta un intero ed unico ciclo sedimentario anche se i termini più alti possono comprendere episodi secondari di variazioni eustatiche e di alluvionamento. In particolare, (Cfr. Schema rapporti stratigrafici), la successione stratigrafica dei luoghi si compone, dal basso verso l'alto, di termini riferibili alle seguenti unità:

PHEEDRA Srl Servizi di Ingegneria Integrata Via Lago di Nemi, 90 74121 – Taranto (Italy) Tel. +39.099.7722302 – Fax: +39.099.9870285 Email: info@pheedra.it – web: www.pheedra.it	RELAZIONE GEOTECNICA	Pagina 3 di 37
---	----------------------	----------------

Committente: Edison Rinnovabili S.p.A. Foro Buonaparte 31 20121 Milano (MI)	PROGETTO PER LA REALIZZAZIONE DI UN PARCO EOLICO NEL COMUNE DI CERIGNOLA (FG) NELLE LOCALITA' "LA MOSCHELLA" E "BELLAVEDUTA"	Nome del file: CRE-CIV-REL-026_01
---	---	---

- CONGLOMERATI POLIGENICI DI BASE, FORTEMENTE CEMENTATI (PP)

Sovrastante in discordanza sul complesso dei flysch, si ha una formazione conglomeratica ben distinta.

Si tratta di conglomerati poligenici fortemente cementati con matrice sabbiosa, a stratificazione a volte ben evidente, ma con spessore variabilissimo e quindi di difficile valutazione; si passa infatti da pochi metri ad una quarantina di metri di spessore nei pressi di Candela.

I ciottoli che compongono tale formazione sono in generale ben arrotondati e con dimensioni variabilissime (dai 5 ai 10 centimetri di diametro). ma la loro composizione è eterogenea: frammisti infatti agli elementi dei flysch (calcarei, brecce calcaree, arenarie, ecc.) si rinvengono anche ciottoli di rocce eruttive.

- SABBIE DI COLORE GIALLO BRUNO CON LENTI CIOTTOLOSE, LOCALMENTE FOSSILIFERE (PS)

Un complesso sabbioso in generale a stratificazione scarsamente definita, di limitato spessore (30-40 metri) segue ai conglomerati superiormente, ma talora anche con passaggio laterale.

Si tratta di sabbie di colore giallo bruno con lenti ciottolose e con livelli di argille grigie, solo localmente per cemento calcareo-marnoso. In generale contengono resti di molluschi marini costituiti quasi sempre da modelli interni e di difficile determinazione.

- ARGILLE E ARGILLE MARNOSE GRIGIO-AZZURROGNOLE, LOCALMENTE SABBIOSE (PQa)

Quest'Unità costituisce la parte bassa della serie pleistocenica, essa si è sviluppata principalmente lungo una larga fascia che con direzione NO-SE, borda ad occidente il grande pianoro che si estende con lieve pendenza da Ascoli Satriano e Lavello verso il paese di Cerignola e fino al Mare Adriatico. Le argille affiorano anche a Nord di Ascoli Satriano e lungo il corso del Fiume Ofanto sotto la estesa copertura dei suoi depositi alluvionali. Da dati ottenuti da perforazioni per la ricerca di idrocarburi quest'Unità avrebbe una potenza di 1.500 metri.

- SABBIE E SABBIE ARGILLOSE A VOLTE CON LIVELLI ARENACI GIALLASTRI E LENTI CIOTTOLOSE (PQS)

In continuità di sedimentazione con le argille si hanno, in alto, sedimenti sabbiosi a volte fittamente stratificati con intercalazioni e lenti ciottolose verso la parte superiore della serie. Si tratta di sabbie più o meno argillose nelle quali la parte argillosa diminuisce progressivamente dal basso verso l'alto. Esse sono di colore generalmente giallastro ed hanno uno spessore di poco superiore a 50 metri. Estese zone da Ascoli Satriano a Lavello ed oltre, sono ricoperte da questi sedimenti sabbiosi; ciò è dovuto principalmente al fatto che l'azione erosiva dei numerosi ma modesti corsi d'acqua (marane), non è tale da raggiungere il complesso argilloso sottostante.

- CONGLOMERATI POLIGENICI CON CIOTTOLI DI MEDIE E GRANDI DIMENSIONI: A VOLTE FORTEMENTE CEMENTATI E CON INTERCALAZIONI DI SABBIE E ARENARIE (QC1)

Questo termine della serie di cui si riscontrano i primi indizi nella parte alta del complesso PQs è costituito da depositi di ciottolame poligenico con ganga sabbiosa ad elementi arenaci e calcarei di dimensioni variabili dai 5 ai 30 cm.

Tale formazione ciottolosa generalmente poco compatta, si presenta solo localmente fortemente cementata in puddinga. Essa costituisce la parte sommatiale del pianoro morfologico Ascoli Satriano Lavello, inciso nel mezzo dal Fiume Ofanto e di quello di Castelluccio dei Sauri. Lo spessore varia da punto a punto ma generalmente si aggira sui 50 metri. Concrezioni e crostoni calcarei sono presentino a volte nella parte superiore della serie.

- CIOTTOLAME INCOERENTE CON INTERCALAZIONI SABBIOSE (QC2)

PHEEDRA Srl Servizi di Ingegneria Integrata Via Lago di Nemi, 90 74121 - Taranto (Italy) Tel. +39.099.7722302 - Fax: +39.099.9870285 Email: info@pheedra.it - web: www.pheedra.it	RELAZIONE GEOTECNICA	Pagina 4 di 37
---	----------------------	----------------

Tale formazione risulta essere il terreno fondale dell'intervento di progetto, essa pur essendo costituita dagli stessi elementi arenacei e calcarei della formazione (QC1) si differenzia da quest'ultima sia dal punto di vista tettonico che granulometrico.

Tra i due complessi (QC1 E QC2) INFATTI rinveniamo un gradino morfologico che si riscontra con un a certa costanza lungo la direttrice NO-SE fra il torrente Carapelle ed il fiume Ofanto. Anche la natura litologica risulta essere la stessa ma a differenza della formazione precedente si presenta molto incoerente con elementi e clasti di modeste dimensioni (10-15 cm) ed intercalazioni di sabbie finissime di colore giallo-oro.

Per un maggiore dettaglio degli strati costituenti l'area oggetto di esame, si rimanda all'elaborato denominato "Relazione geologica, sismica e studio di compatibilità idrogeologica", redatto dal geol. Dott. Fusco.

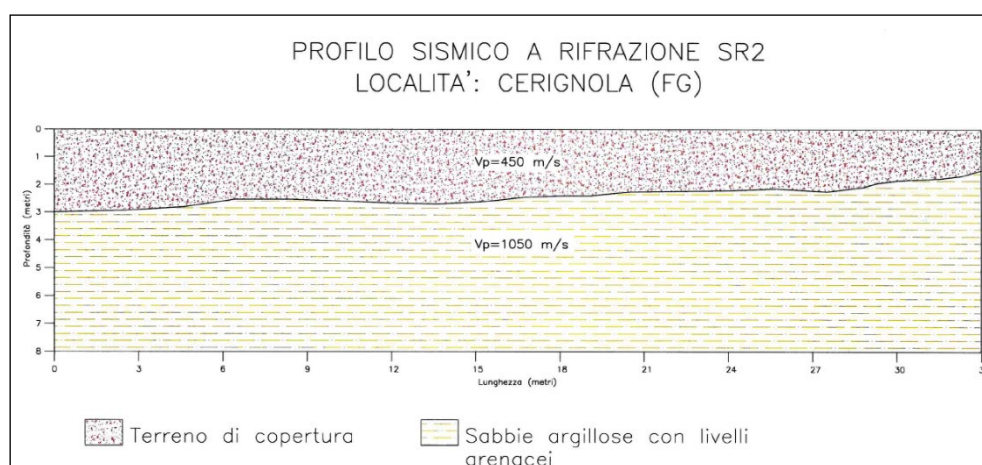
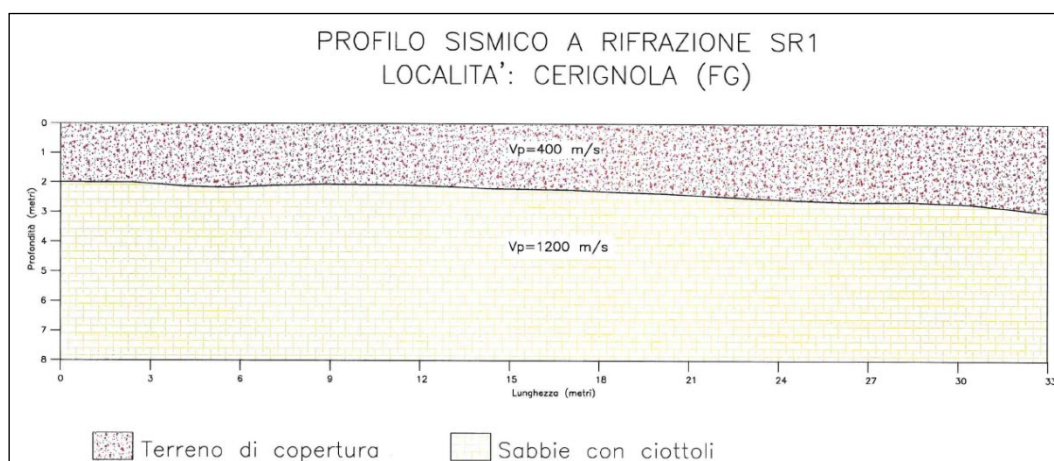
3.1. CARATTERISTICHE GEOTECNICHE DEI TERRENI

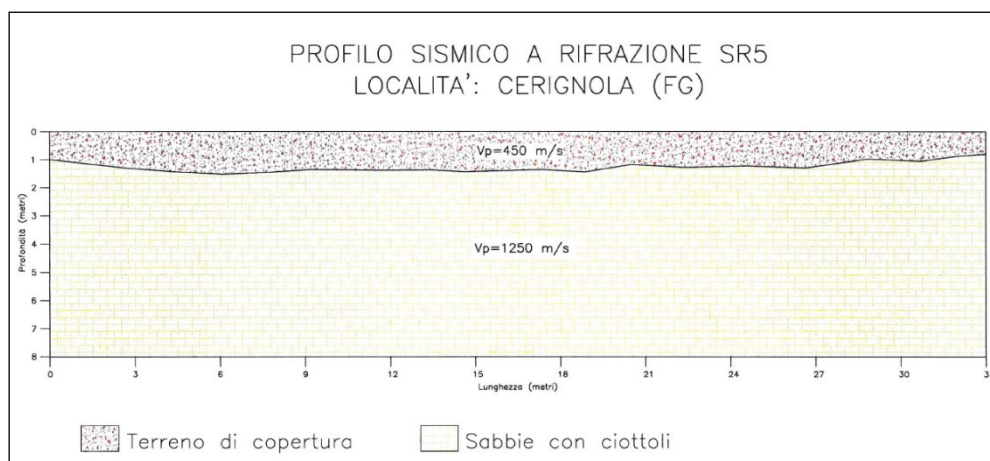
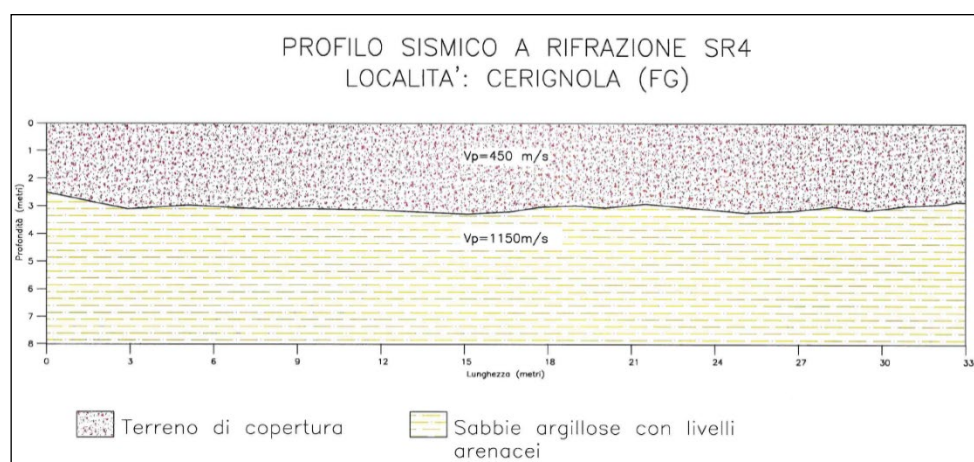
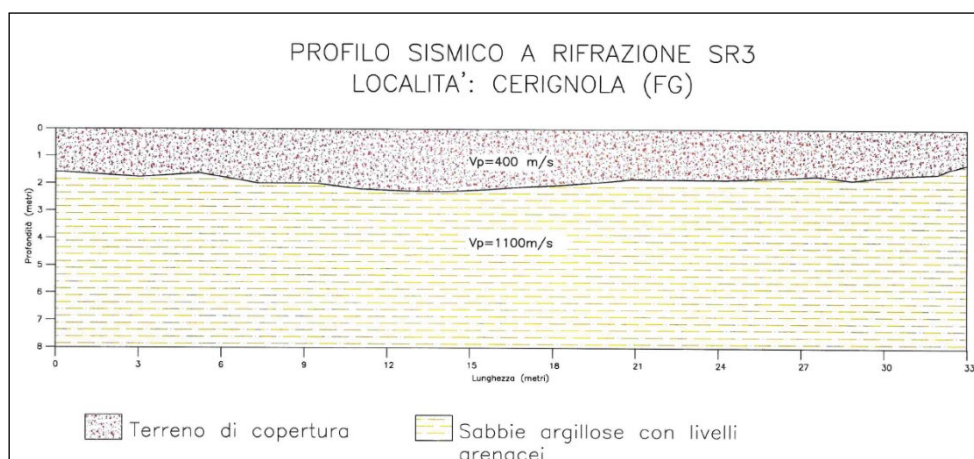
La raccolta dei dati dei principali parametri geotecnici, si è basata sull'analisi proveniente dalla campagna d'indagine geognostica effettuata sul sito e costituita da una serie di indagini di tipo indiretto.

Le indagini sono consistite in:

- N° 5 profili sismici a rifrazione;
- N° 1 profilo sismico passivo, con metodologia Masw.

L'elaborazione delle stesse ha permesso di ricostruire il modello Geologico dell'area.





I calcoli geotecnici saranno eseguiti con il profilo avente le caratteristiche geotecniche più scadenti e cioè il profilo stratigrafico n.5.

Dalle indagini eseguite sono stati ricavati i seguenti parametri geotecnici medi:

Profilo sismico 1

Strato	Vp (m/sec)	Vs (m/sec)	ϕ (°)	C (kg/cmq)	γ (gr/cmc)	E Din (MPa)	η
1	400	-	-	-	-	-	-
2	1200	260	39.5	0.02	1.93	3400	0.48

Vp = vel. longit.; Vs = vel trasv.; ϕ = angolo di attrito; C' = coesione efficace;
 γ = peso per unità di volume; E = modulo elastico; η = coefficiente di poisson

Profilo sismico 2

Strato	Vp (m/sec)	Vs (m/sec)	ϕ (°)	C (kg/cmq)	γ (gr/cmc)	E Din (MPa)	η
1	450	-	-	-	-	-	-
2	1050	220	41.0	0.01	1.80	2800	0.49

Vp = vel. longit.; Vs = vel trasv.; ϕ = angolo di attrito; C' = coesione efficace;
 γ = peso per unità di volume; E = modulo elastico; η = coefficiente di poisson

Profilo sismico 3

Strato	Vp (m/sec)	Vs (m/sec)	ϕ (°)	C (kg/cmq)	γ (gr/cmc)	E Din (MPa)	η
1	400	-	-	-	-	-	-
2	1100	240	40.5	0.02	1.88	2850	0.49

Vp = vel. longit.; Vs = vel trasv.; ϕ = angolo di attrito; C' = coesione efficace;
 γ = peso per unità di volume; E = modulo elastico; η = coefficiente di poisson

Profilo sismico 4

Strato	Vp (m/sec)	Vs (m/sec)	ϕ (°)	C (kg/cmq)	γ (gr/cmc)	E Din (MPa)	η
1	450	-	-	-	-	-	-
2	1150	250	40.0	0.01	1.91	3100	0.48

Vp = vel. longit.; Vs = vel trasv.; ϕ = angolo di attrito; C' = coesione efficace;
 γ = peso per unità di volume; E = modulo elastico; η = coefficiente di poisson

Profilo sismico 5

Strato	Vp (m/sec)	Vs (m/sec)	ϕ (°)	C (kg/cmq)	γ (gr/cmc)	E Din (MPa)	η
1	450	-	-	-	-	-	-
2	1250	275	39.1	0.02	1.89	3750	0.47

Vp = vel. longit.; Vs = vel trasv.; ϕ = angolo di attrito; C' = coesione efficace;
 γ = peso per unità di volume; E = modulo elastico; η = coefficiente di poisson

Committente: Edison Rinnovabili S.p.A. Foro Buonaparte 31 20121 Milano (MI)	PROGETTO PER LA REALIZZAZIONE DI UN PARCO EOLICO NEL COMUNE DI CERIGNOLA (FG) NELLE LOCALITA' "LA MOSCHELLA" E "BELLAVEDUTA"	Nome del file: CRE-CIV-REL-026_01
---	---	---

4. CARATTERISTICHE SISMICHE

I valori di pericolosità sismica riportati dalle seguenti carte sono espressi in termini di accelerazione massima del suolo (a_g = frazione della accelerazione di gravità), riferita a suoli rigidi ($V_{s30} > 800$ m/s ovvero cat. A, punto 3.2.1 del D.M. 14.09.2005), con probabilità di eccedenza in 50 anni pari a: 81%, 63%, 50%, 39%, 30%, 22%, 5% e 2%.

Si ribadisce che in questa fase i valori di a_g sono prettamente statistici, in fase esecutiva di progetto, per valutare la reale corrispondenza di tali valori bisognerà ricorrere alla procedura di analisi contenuta nella Norme Tecniche per le Costruzioni 2018.

Per eseguire l'analisi mediante i dettami del NTC 2018, sarà necessario eseguire le indagini sismiche puntuali, così come sopra riportato, da cui ricavare il parametro V_{s30} del sottosuolo. La conoscenza di tale parametro permetterà di attribuire alla zona interessata dal progetto, una determinata categoria di suolo, così come previsto dalla tabella 3.2 II – Categorie di sottosuolo NTC 2018.

AREA INTERESSATA	INDAGINE DIRETTE	INDAGINI INDIRECTE
WTG 1	n°1 Sondaggio in corrispondenza della fondazione di progetto	n°1 Indagine "DOWN – HOLE – in corrispondenza della fondazione in progetto
WTG 2	n°1 Sondaggio in corrispondenza della fondazione di progetto	n°1 Indagine "DOWN – HOLE – in corrispondenza della fondazione in progetto
WTG 3	n°1 Sondaggio in corrispondenza della fondazione di progetto	n°1 Indagine "DOWN – HOLE – in corrispondenza della fondazione in progetto
WTG 4	n°1 Sondaggio in corrispondenza della fondazione di progetto	n°1 Indagine "DOWN – HOLE – in corrispondenza della fondazione in progetto
WTG 5	n°1 Sondaggio in corrispondenza della fondazione di progetto	n°1 Indagine "DOWN – HOLE – in corrispondenza della fondazione in progetto
WTG 6	n°1 Sondaggio in corrispondenza della fondazione di progetto	n°1 Indagine "DOWN – HOLE – in corrispondenza della fondazione in progetto
WTG 7	n°1 Sondaggio in corrispondenza della fondazione di progetto	n°1 Indagine "DOWN – HOLE – in corrispondenza della fondazione in progetto
WTG 8	n°1 Sondaggio in corrispondenza della fondazione di progetto	n°1 Indagine "DOWN – HOLE – in corrispondenza della fondazione in progetto
WTG 9	n°1 Sondaggio in corrispondenza della fondazione di progetto	n°1 Indagine "DOWN – HOLE – in corrispondenza della fondazione in progetto

Committente: Edison Rinnovabili S.p.A. Foro Buonaparte 31 20121 Milano (MI)	PROGETTO PER LA REALIZZAZIONE DI UN PARCO EOLICO NEL COMUNE DI CERIGNOLA (FG) NELLE LOCALITA' "LA MOSCHELLA" E "BELLAVEDUTA"	Nome del file: CRE-CIV-REL-026_01
---	---	---

AREA INTERESSATA	INDAGINE DIRETTE	INDAGINI INDIRETTE
WTG 10	n°1 Sondaggio in corrispondenza della fondazione di progetto	n°1 Indagine "DOWN – HOLE – in corrispondenza della fondazione in progetto
WTG 11	n°1 Sondaggio in corrispondenza della fondazione di progetto	n°1 Indagine "DOWN – HOLE – in corrispondenza della fondazione in progetto
WTG 12	n°1 Sondaggio in corrispondenza della fondazione di progetto	n°1 Indagine "DOWN – HOLE – in corrispondenza della fondazione in progetto
WTG 13	n°1 Sondaggio in corrispondenza della fondazione di progetto	n°1 Indagine "DOWN – HOLE – in corrispondenza della fondazione in progetto

Inoltre, verranno eseguite n°2 Indagini a rifrazione per ciascuna zona che intercorre tra i diversi sondaggi diretti ossia tra le aree dove sono previste le fondazioni di progetto.

5. CRITERI DI PROGETTO, MODELLAZIONE GEOTECNICA - VERIFICHE

In questa fase si ipotizza la progettazione di una fondazione su plinti di forma quadrangolare con una larghezza e lunghezza pari a 20,00 m ed una altezza massima di 4 m, poggianti su pali trivellati aventi una lunghezza di 30,00m. A seguito delle indagini specialistiche si potranno dimensionare le fondazioni in modo più accurato.

Le torri eoliche in progetto, per semplicità di calcolo, si ipotizzano poggianti su terreni aventi tutti la stessa tipologia di progetto.

Gli aerogeneratori secondo progetto saranno ubicati per gran parte sulle aree sommitali dei vari rilievi collinari presenti nell'intera area in esame. In tali zone di "crinale" la copertura di alterazione (suolo) del substrato "roccioso" può in taluni casi presentarsi con uno spessore più ridotto rispetto alle zone di versante, così come in generale i crinali appaiono zone più stabili.

Ove il substrato "roccioso integro" sarà rinvenuto a breve profondità dal piano campagna (tali condizioni potranno essere analizzate solo dopo opportune indagini geognostiche in situ) le strutture fondali delle opere in progetto sia esse di tipo superficiale (platea) sia di tipo profondo (pali) dovranno interessare ("essere attestate") tale substrato roccioso locale "inalterato". Si tratterà, quindi, di realizzare in ogni caso fondazioni su substrato roccioso, anche se di natura flyschoidale.

Nel caso di fondazioni superficiali su **substrato roccioso**, sia esso carbonatico, arenaceo e argilloso (argille sovraconsolidate), la resistenza della roccia base in situ, come riportato da alcune pubblicazioni a carattere tecnico-scientifico, è probabilmente dello stesso ordine di grandezza di quella del calcestruzzo di fondazione. Questo se la roccia è integra.

Nel caso di rocce non integre, la presenza di fratture (ancor più di diverse famiglie di fratture) o una profonda alterazione (pedogenizzazione, argillificazione, ecc.) può determinare un aumento drastico della compressibilità delle masse rocciose. Il grado di influenza nel caso, per esempio, di un substrato roccioso carbonatico interessato da "faturazione" appare legato alla suddivisione e alla dimensione delle fratture, alla larghezza delle fratture stesse (nel caso di fratture beanti) e al fatto se esse siano riempite o meno da sedimenti compressibili. Per tenere conto della possibilità che la roccia non sia integra è consuetudine usare coefficienti di sicurezza elevati (ad esempio da 6 a 10 rispetto alla resistenza a compressione uniassiale q_u) e, nel caso

Committente: Edison Rinnovabili S.p.A. Foro Buonaparte 31 20121 Milano (MI)	PROGETTO PER LA REALIZZAZIONE DI UN PARCO EOLICO NEL COMUNE DI CERIGNOLA (FG) NELLE LOCALITA' "LA MOSCHELLA" E "BELLAVEDUTA"	Nome del file: CRE-CIV-REL-026_01
---	---	---

in cui si verifica la situazione di un semplice contatto tra calcestruzzo e roccia, di usare non più della resistenza a compressione del calcestruzzo come capacità portante della roccia.

In generale la capacità portante nel caso di fondazioni superficiali in roccia si esprime come:

$$q_0 = C * q_u$$

ove C può essere solitamente dell'ordine di 0,2-0,3.

Per quanto attiene il caso di un substrato roccioso flyshoide, costituito da alternanze di calcari, argille, marne ed arenarie, da vari lavori presenti nella letteratura scientifico-tecnica e riguardanti la caratterizzazione geomeccanica di diversi ammassi rocciosi, con diversi gradi di fatturazione e di alterazione, è possibile attribuire ad esso un valore medio di resistenza a compressione uniassiale pari a circa 1-2 MPa. Per quanto attiene il caso di fondazioni su roccia di tipo profondo (pali) la letteratura scientifico-tecnica propone di considerare la "capacità portante ultima strutturale" del palo stesso V_s che può essere espressa come:

$$V_s = \Phi * P$$

ove P è la resistenza massima di un pilastro sottoposto a compressione semplice e Φ un fattore di riduzione della capacità del palo che varia in funzione dei differenti tipi di palo, dalle incertezze ed imprecisioni proprie nella costruzione dei pali e delle distorsioni degli assi del palo.

5.1. DETERMINAZIONE DELLA PORTANZA VERTICALE DI FONDAZIONI PROFONDE

Dal momento che gli aerogeneratori andranno ad attestarsi nel substrato "substrato flyshoide", vista sia la situazione stratigrafica e geomeccanica dei terreni di sedime, sia le caratteristiche strutturali dell'opera in progetto, si ritiene che per essa la soluzione fondale più idonea sia, in tale situazione, l'adozione di fondazioni di tipo profondo.

Tale struttura fondale potrà essere realizzata tramite una palificata costituita da pali di grande diametro armati per tutto il loro sviluppo per la presenza di carichi orizzontali (sisma) e di lunghezza tale da andarsi ad attestare almeno a partire dalla quota di 25 - 30 m dal piano campagna laddove si rinvenivano litotipi con caratteristiche geomeccaniche idonee.

Prendendo in esame in prima analisi pali trivellati è stato calcolato il valore del carico assiale limite (Q_{lim}) assumendo per il singolo palo un diametro $\varnothing = 1$ m.

Per la determinazione della portanza verticale di fondazioni profonde si fa riferimento a due contributi: la "portanza di punta" e la "portanza per attrito laterale". Queste due componenti in genere sono calcolate in maniera autonoma dato che risulta molto difficoltoso, tranne che in poche situazioni, stabilire quanta parte del carico è assorbita dall'attrito laterale e quanta dalla resistenza alla punta. Nel seguito, ai fini del calcolo della portanza verticale, si assumeranno le seguenti espressioni generali valide per il caso di palo soggetto a compressione e per il caso di palo soggetto a trazione (nel calcolo della portanza verticale è possibile tenere in conto tutti o solo uno dei contributi su definiti):

PHEEDRA Srl Servizi di Ingegneria Integrata Via Lago di Nemi, 90 74121 - Taranto (Italy) Tel. +39.099.7722302 - Fax: +39.099.9870285 Email: info@pheedra.it - web: www.pheedra.it	RELAZIONE GEOTECNICA	Pagina 10 di 37
---	-----------------------------	-----------------

Committente: Edison Rinnovabili S.p.A. Foro Buonaparte 31 20121 Milano (MI)	PROGETTO PER LA REALIZZAZIONE DI UN PARCO EOLICO NEL COMUNE DI CERIGNOLA (FG) NELLE LOCALITA' "LA MOSCHELLA" E "BELLAVEDUTA"	Nome del file: CRE-CIV-REL-026_01
---	---	---

$$Q_C = \frac{Q_P}{\eta_P} + \frac{Q_L}{\eta_L} - W_{ATT.NEG.} - W_P \quad (\text{caso di palo in compressione}) \quad Q_T$$

$$= \frac{Q_L}{\eta_L} + W_P \quad (\text{caso di palo in trazione})$$

dove i simboli su riportati hanno il seguente significato:

- Q_C resistenza a compressione del palo
- Q_T resistenza a trazione del palo
- Q_P carico limite verticale alla punta del palo
- Q_L carico limite verticale lungo la superficie laterale del palo
- $W_{ATT.NEG.}$ attrito negativo agente sul palo
- W_P peso totale del palo
- η_P coefficiente di sicurezza per carico limite verticale alla punta del palo
- η_L coefficiente di sicurezza per carico limite verticale lungo la superficie laterale del palo

I valori del carico limite verticale alla punta del palo " Q_P " e del carico limite verticale lungo la superficie laterale del palo " Q_L " sono determinati con le note "formule statiche". Queste esprimono i valori di cui sopra in funzione della geometria del palo, delle caratteristiche geotecniche del terreno in cui è immerso, della modalità esecutiva e dell'interfaccia palo-terreno.

Di seguito si illustrano le metodologie con le quali saranno determinati i valori prima citati; è necessario tenere presente che tali metodi sono riferiti al calcolo del "singolo palo" e per estendere tale modalità computazione al caso di "pali in gruppo" si farà ricorso ai "coefficienti d'efficienza", in questo modo si potrà tenere in debito conto l'interferenza reciproca che i pali esercitano.

5.2. CARICO LIMITE VERTICALE ALLA PUNTA DEL PALO

Il valore del carico limite verticale alla punta del palo, indipendentemente dal metodo utilizzato per la sua determinazione, è condizionato dalla modalità esecutiva. Esso varia notevolmente a seconda che il palo sia del tipo "infisso" o "trivellato" poiché le caratteristiche fisico-meccaniche del terreno circostante il palo variano in seguito alle operazioni d'installazione. Di conseguenza, per tenere conto della modalità esecutiva nel calcolo dei coefficienti di portanza, si propone di modificare il valore dell'angolo di resistenza a taglio secondo quanto suggerito da Kishida (1967):

$$\phi_{cor} = \frac{\phi + 40}{2} \quad (\text{per pali infissi}) \quad \phi_{cor} = \phi - 3^\circ \quad (\text{per pali trivellati})$$

Con la correzione di cui sopra si determineranno i fattori adimensionali di portanza che sono presenti nella relazione per la determinazione del carico limite verticale alla punta che assume la seguente espressione:

$$Q_P = A_P \cdot (q_P \cdot N_q^* + c \cdot N_c^*)$$

dove i simboli su riportati hanno il seguente significato:

PHEEDRA Srl Servizi di Ingegneria Integrata Via Lago di Nemi, 90 74121 - Taranto (Italy) Tel. +39.099.7722302 - Fax: +39.099.9870285 Email: info@pheedra.it - web: www.pheedra.it	RELAZIONE GEOTECNICA	Pagina 11 di 37
---	----------------------	-----------------

Committente: Edison Rinnovabili S.p.A. Foro Buonaparte 31 20121 Milano (MI)	PROGETTO PER LA REALIZZAZIONE DI UN PARCO EOLICO NEL COMUNE DI CERIGNOLA (FG) NELLE LOCALITA' "LA MOSCHELLA" E "BELLAVEDUTA"	Nome del file: CRE-CIV-REL-026_01
---	---	---

- A_p superficie portante efficace della punta del palo
- q_p pressione del terreno presente alla punta del palo
- c coesione del terreno alla punta del palo (nel caso di condizione non drenata $c = c_u$)
- N_q^*, N_c^* fattori adimensionali di portanza funzione dell'angolo d'attrito interno φ_{zop} del terreno già corretti

In letteratura esistono diverse formulazioni per il calcolo dei fattori adimensionali di portanza, di seguito si riportano quelle che sono state implementate:

Formulazione di Meyerhof per base poggiate su terreni sciolti (1951)

1. se $\varphi \neq 0$ (condizione drenata) si ha:

$$\begin{aligned}
 N_q &= \operatorname{tg}^2\left(\frac{\pi}{4} + \frac{\phi}{2}\right) \cdot e^{\pi \cdot \operatorname{tg}(\phi)} & N_c &= (N_q - 1) \cdot \operatorname{ctg}(\phi) \\
 s_q &= 1 + 0.1 \cdot \operatorname{tg}^2\left(\frac{\pi}{4} + \frac{\phi}{2}\right) & s_c &= 1 + 0.2 \cdot \operatorname{tg}^2\left(\frac{\pi}{4} + \frac{\phi}{2}\right) && \text{(fattori di forma)} \\
 d_q &= 1 + 0.1 \cdot \frac{L}{D} \cdot \sqrt{\operatorname{tg}^2\left(\frac{\pi}{4} + \frac{\phi}{2}\right)} & d_c &= 1 + 0.2 \cdot \frac{L}{D} \cdot \sqrt{\operatorname{tg}^2\left(\frac{\pi}{4} + \frac{\phi}{2}\right)} && \text{(fattori d'approfondimento)} \\
 N_q^* &= N_q \cdot s_q \cdot d_q & N_c^* &= N_c \cdot s_c \cdot d_c
 \end{aligned}$$

2. se $\varphi = 0$ (condizione non drenata) si ha:

$$\begin{aligned}
 N_q &= 1.00 & N_c &= \pi + 2 \\
 s_q &= 1.00 & s_c &= 1.20 && \text{(fattori di forma)} \\
 d_q &= 1.00 & d_c &= 1 + 0.2 \cdot \frac{L}{D} && \text{(fattori d'approfondimento)} \\
 N_q^* &= N_q \cdot s_q \cdot d_q & N_c^* &= N_c \cdot s_c \cdot d_c
 \end{aligned}$$

Formulazione di Hansen per base poggiate su terreni sciolti (1970)

1. se $\varphi \neq 0$ (condizione drenata) si ha:

$$\begin{aligned}
 N_q &= \operatorname{tg}^2\left(\frac{\pi}{4} + \frac{\phi}{2}\right) \cdot e^{\pi \cdot \operatorname{tg}(\phi)} & N_c &= (N_q - 1) \cdot \operatorname{ctg}(\phi) \\
 s_q &= 1 + \operatorname{tg}(\phi) & s_c &= 1 + \frac{N_q}{N_c} && \text{(fattori di forma)} \\
 d_q &= 1 + 2 \cdot \operatorname{tg}(\phi) \cdot (1 - \operatorname{sen}(\phi))^2 \cdot \theta & d_c &= 1 + 0.4 \cdot \theta && \text{(fattori d'approfondimento)}
 \end{aligned}$$

Committente: Edison Rinnovabili S.p.A. Foro Buonaparte 31 20121 Milano (MI)	PROGETTO PER LA REALIZZAZIONE DI UN PARCO EOLICO NEL COMUNE DI CERIGNOLA (FG) NELLE LOCALITA' "LA MOSCHELLA" E "BELLAVEDUTA"	Nome del file: CRE-CIV-REL-026_01
---	---	---

$$\text{dove: se } \frac{L}{D} \leq 1 \Rightarrow \theta = \frac{L}{D}, \text{ se } \frac{L}{D} > 1 \Rightarrow \theta = \arctg\left(\frac{L}{D}\right)$$

$$N_q^* = N_q \cdot s_q \cdot d_q \qquad N_c^* = N_c \cdot s_c \cdot d_c$$

2. se $\varphi = 0$ (condizione non drenata) si ha:

$$N_q = 1.00$$

$$N_c = \pi + 2$$

$$s_q = 1.00$$

$$s_c = 1.20$$

(fattori di forma)

$$d_q = 1.00$$

$$d_c = 1 + 0.4 \cdot \theta$$

(fattori d'approfondimento)

$$N_q^* = N_q \cdot s_q \cdot d_q$$

$$N_c^* = N_c \cdot s_c \cdot d_c$$

Formulazione di Zeevaert per base poggiate su terreni sciolti (1972)

1. se $\varphi \neq 0$ (condizione drenata) si ha:

$$N_q^* = \frac{\cos^2(\phi)}{2 \cdot \cos^2\left(\frac{\pi + \phi}{4}\right)} \cdot e^{\left(\frac{\pi}{2} + \phi\right) \cdot \text{tg}(\phi)} \qquad N_c^* = (N_q - 1) \cdot \text{ctg}(\phi)$$

2. se $\varphi = 0$ (condizione non drenata) si ha:

$$N_q^* = 1.00$$

$$N_c^* = 9.00$$

Formulazione di Berezantzev per base poggiate su terreni sciolti (1970)

Berezantzev fa riferimento ad una superficie di scorrimento "alla Terzaghi" che si arresta sul piano della punta del palo. Inoltre, considera il cilindro di terreno coassiale al palo (avente diametro pari all'estensione in sezione della superficie di scorrimento) in parte sostenuto da tensioni tangenziali dal rimanente terreno presente lungo la superficie laterale del cilindro. Conseguentemente il valore della pressione presente alla punta del palo è inferiore alla corrispondente pressione litostatica ed è influenzata dal rapporto tra la profondità alla quale è posta la punta "L" del palo e il diametro "D" dello stesso. Quindi il valore di N_q^* è influenzato da questo effetto "Silo". I valori che l'autore propone sono:

1. se $\varphi \neq 0$ (condizione drenata) si ha:

Valori di N_q^* per pali di diametro fino a 80.0 cm.

PHEEDRA Srl Servizi di Ingegneria Integrata Via Lago di Nemi, 90 74121 - Taranto (Italy) Tel. +39.099.7722302 - Fax: +39.099.9870285 Email: info@pheedra.it - web: www.pheedra.it	RELAZIONE GEOTECNICA	Pagina 13 di 37
---	----------------------	-----------------

Λ/Δ	8°	16°	18°	20°	22°	24°	26°	28°	30°	32°	34°	36°	38°	40°	42°	44°	46°	48°	50°
4	1.07	2.18	3.15	4.72	7.15	10.73	15.85	22.95	32.62	45.56	62.69	85.18	114.53	152.71	202.32	266.82	350.86	460.79	605.36
12	1.04	1.77	2.46	3.64	5.52	8.42	12.71	18.85	27.44	39.21	55.07	76.20	104.13	140.81	188.86	251.72	334.05	442.17	584.82
20	1.03	1.63	2.20	3.20	4.82	7.38	11.22	16.82	24.76	35.79	50.83	71.06	98.01	133.65	180.59	242.29	323.39	430.21	571.48
28	1.03	1.54	2.05	2.93	4.40	6.72	10.26	15.48	22.96	33.43	47.84	67.37	93.54	128.35	174.39	235.13	315.21	420.95	561.08
36	1.02	1.49	1.94	2.75	4.10	6.26	9.57	14.49	21.60	31.64	45.53	64.48	90.00	124.10	169.36	229.27	308.46	413.26	552.38
50	1.02	1.42	1.82	2.53	3.74	5.68	8.70	13.23	19.84	29.27	42.45	60.56	85.14	118.18	162.30	220.95	298.80	402.16	539.74
75	1.02	1.35	1.69	2.30	3.33	5.02	7.69	11.74	17.73	26.37	38.58	55.55	78.82	110.38	152.84	209.67	285.53	386.74	522.01
100	1.01	1.31	1.61	2.14	3.07	4.60	7.02	10.74	16.28	24.34	35.84	51.95	74.19	104.56	145.68	201.02	275.23	374.64	507.95
200	1.01	1.22	1.44	1.84	2.54	3.71	5.60	8.56	13.05	19.73	29.43	43.30	62.82	89.95	127.29	178.30	247.63	341.59	468.90
500	1.01	1.14	1.29	1.55	2.02	2.82	4.14	6.24	9.50	14.45	21.83	32.64	48.25	70.49	101.85	145.69	206.57	290.75	406.87

Valori di N_q^* per pali di diametro maggiore a 80.0 cm.

Λ/Δ	8°	16°	18°	20°	22°	24°	26°	28°	30°	32°	34°	36°	38°	40°	42°	44°	46°	48°	50°
4	1.16	3.09	3.95	5.04	6.44	8.22	10.50	13.41	17.12	21.87	27.92	35.65	45.53	58.14	74.24	94.80	121.05	154.57	197.38
12	1.21	3.14	3.98	5.05	6.42	8.14	10.34	13.13	16.68	21.18	26.90	34.17	43.41	55.15	70.07	89.03	113.13	143.77	182.72
20	1.26	3.18	4.01	5.06	6.39	8.06	10.18	12.85	16.23	20.49	25.88	32.69	41.29	52.16	65.89	83.26	105.21	132.97	168.06
28	1.30	3.22	4.04	5.07	6.36	7.99	10.02	12.57	15.78	19.81	24.86	31.20	39.17	49.16	61.72	77.49	97.29	122.16	153.40
36	1.35	3.27	4.07	5.08	6.34	7.91	9.86	12.30	15.33	19.12	23.84	29.72	37.04	46.17	57.55	71.72	89.38	111.36	138.75
44	1.39	3.31	4.10	5.09	6.31	7.83	9.70	12.02	14.88	18.43	22.81	28.23	34.92	43.18	53.38	65.95	81.46	100.56	124.09
52	1.44	3.35	4.14	5.10	6.29	7.75	9.54	11.74	14.44	17.74	21.79	26.75	32.80	40.19	49.21	60.18	73.54	89.76	109.43
56	1.46	3.37	4.15	5.10	6.27	7.71	9.46	11.60	14.21	17.40	21.28	26.00	31.74	38.70	47.12	57.30	69.58	84.36	102.10
60	1.49	3.39	4.17	5.11	6.26	7.67	9.38	11.46	13.99	17.06	20.77	25.26	30.68	37.20	45.03	54.42	65.62	78.96	94.77
65	1.51	3.42	4.19	5.12	6.25	7.62	9.28	11.29	13.71	16.63	20.13	24.33	29.35	35.33	42.43	50.81	60.67	72.21	85.61

$$N_c^* = (N_q - 1) \cdot \text{ctg}(\phi)$$

2. se $\phi = 0$ (condizione non drenata) si ha:

$$N_q^* = 1.00$$

$$N_c^* = 9.00$$

Formulazione di Vesic per base poggiate su terreni sciolti (1975)

1. se $\phi \neq 0$ (condizione drenata) si ha:

$$N_q^* = \frac{3}{3 - \text{sen}(\phi)} \cdot \text{tg}^2\left(\frac{\pi}{4} + \frac{\phi}{2}\right) \cdot I_{rr}^{\frac{4 - \text{sen}(\phi)}{3 \cdot (1 + \text{sen}(\phi))}} \cdot e^{\left(\frac{\pi}{2} - \phi\right) \cdot \text{tg}(\phi)} \quad N_c^* = (N_q - 1) \cdot \text{ctg}(\phi)$$

Committente: Edison Rinnovabili S.p.A. Foro Buonaparte 31 20121 Milano (MI)	PROGETTO PER LA REALIZZAZIONE DI UN PARCO EOLICO NEL COMUNE DI CERIGNOLA (FG) NELLE LOCALITA' "LA MOSCHELLA" E "BELLAVEDUTA"	Nome del file: CRE-CIV-REL-026_01
---	---	---

$$I_{rr} = \frac{I_r}{1 + \varepsilon_v \cdot I_r} \quad \varepsilon_v = \frac{q_p \cdot \alpha \cdot (1 + \nu) \cdot (1 - 2 \cdot \nu)}{E_t \cdot (1 - \nu)} \quad I_r = \frac{E_t}{2 \cdot (1 + \nu) \cdot (c + q_p \cdot \alpha \cdot \operatorname{tg}(\phi))} \square$$

2. se $\phi = 0$ (condizione non drenata) si ha:

$$N_q^* = 1.00 \quad N_c^* = \frac{4}{3} \cdot (\log_n(I_{rr}) + 1) + \frac{\pi}{2} + 1$$

dove i simboli su riportati hanno il seguente significato:

- E_t modulo elastico del terreno alla profondità della punta del palo
- ν coefficiente di Poisson del terreno alla profondità della punta del palo
- α coefficiente di riduzione della pressione del terreno presente alla profondità della punta del palo

Nel caso in cui si scelga di effettuare la riduzione della pressione del terreno presente alla profondità della punta del palo (cioè $\alpha \neq 1$) il coefficiente di riduzione " α " assume la seguente espressione:

$$\alpha = \frac{1 + 2 \cdot K_0}{3} \quad \text{dove: se } \phi \neq 0 \Rightarrow K_0 = 1 - \operatorname{sen}(\phi); \quad \text{se } \phi = 0 \Rightarrow K_0 = \frac{\nu}{1 - \nu}$$

Formulazione di Janbu per base poggiate su terreni sciolti (1976)

1. se $\phi \neq 0$ (condizione drenata) si ha:

$$N_q^* = \left(\operatorname{tg}(\phi) + \sqrt{1 + \operatorname{tg}^2(\phi)} \right)^2 \cdot e^{2 \cdot \vartheta \cdot \operatorname{tg}(\phi)} \quad N_c^* = (N_q - 1) \cdot \operatorname{ctg}(\phi)$$

$$\vartheta = 60 + 0.45 \cdot D_r$$

dove " D_r " è la densità relativa del terreno.

2. se $\phi = 0$ (condizione non drenata) si ha:

$$N_q^* = 1.00 \quad N_c^* = 5.74$$

Formulazione di Terzaghi per base poggiate su roccia (1943)

Per la determinazione del carico limite nel caso di presenza di ammasso roccioso bisogna valutare molto attentamente il grado di solidità della roccia stessa. Tale valutazione viene in genere eseguita stimando l'indice RQD (Rock Quality Designation) che rappresenta una misura della qualità di un ammasso roccioso. Tale indice può variare da un minimo di 0 (caso in cui la lunghezza dei pezzi di roccia estratti dal carotiere è inferiore a

PHEEDRA Srl Servizi di Ingegneria Integrata Via Lago di Nemi, 90 74121 - Taranto (Italy) Tel. +39.099.7722302 - Fax: +39.099.9870285 Email: info@pheedra.it - web: www.pheedra.it	RELAZIONE GEOTECNICA	Pagina 15 di 37
---	----------------------	-----------------

Committente: Edison Rinnovabili S.p.A. Foro Buonaparte 31 20121 Milano (MI)	PROGETTO PER LA REALIZZAZIONE DI UN PARCO EOLICO NEL COMUNE DI CERIGNOLA (FG) NELLE LOCALITA' "LA MOSCHELLA" E "BELLAVEDUTA"	Nome del file: CRE-CIV-REL-026_01
---	---	---

100 mm) ad un massimo di 1 (caso in cui la carota risulta integra) ed è calcolato nel seguente modo:

$$RQD = \frac{\sum \text{lunghezze dei pezzi di roccia intatta} > 100\text{mm}}{\text{lunghezza del carotiere}}$$

Se il valore di RQD è molto basso la roccia è molto fratturata ed il calcolo della capacità portante dell'ammasso roccioso va condotto alla stregua di un terreno sciolto utilizzando tutte le formulazioni sopra descritte.

$$N_q = \frac{e^{2 \cdot \left(\frac{3 \cdot \pi}{4} - \frac{\phi}{2}\right) \cdot \text{tg}(\phi)}}{2 \cdot \cos^2\left(\frac{\pi}{4} + \frac{\phi}{2}\right)}$$

$$N_c = (N_q - 1) \cdot \text{ctg}(\phi) \quad \text{se } \phi = 0 \Rightarrow N_c = \frac{3}{2} \cdot \pi + 1$$

$$s_q = 1.00 \quad s_c = 1.30 \quad (\text{fattori di forma})$$

$$N_q^* = RQD^2 \cdot N_q \cdot s_q \quad N_c^* = RQD^2 \cdot N_c \cdot s_c$$

Formulazione di Stagg - Zienkiewicz per base poggiate su roccia (1968)

$$N_q = \text{tg}^6\left(\frac{90^\circ + \phi}{2}\right) \quad N_c = 5 \cdot \text{tg}^4\left(\frac{90^\circ + \phi}{2}\right)$$

$$s_q = 1.00 \quad s_c = 1.30 \quad (\text{fattori di forma})$$

$$N_q^* = RQD^2 \cdot N_q \cdot s_q \quad N_c^* = RQD^2 \cdot N_c \cdot s_c$$

5.3. CARICO LIMITE VERTICALE LUNGO LA SUPERFICIE LATERALE DEL PALO

Il valore del carico limite verticale lungo la superficie laterale del palo è dato dall'integrale esteso a tutta la superficie laterale del palo delle tensioni tangenziali che si sviluppano all'interfaccia palo-terreno in condizioni limite:

$$Q_L = \int_{\Gamma} \tau_{\text{lim}} \cdot d\Gamma = \int_0^L (c_a + \sigma_h \cdot \text{tg}(\delta)) \cdot P_{\text{lat}} \cdot dz$$

dove i simboli sopra riportati hanno il seguente significato:

- χ_a adesione all'interfaccia terreno-palo alla generica profondità "z"
- σ_h tensione orizzontale alla generica profondità "z"
- δ angolo di resistenza a taglio all'interfaccia terreno-palo alla generica profondità "z"
- P_{lat} perimetro della sezione trasversale del palo alla generica profondità "z"
- L sviluppo longitudinale del palo

Analogamente al carico limite alla punta, anche il valore del carico limite verticale lungo la superficie laterale del palo varia notevolmente a seconda che esso sia del tipo "infisso" o "trivellato" a causa del diverso

PHEEDRA Srl Servizi di Ingegneria Integrata Via Lago di Nemi, 90 74121 - Taranto (Italy) Tel. +39.099.7722302 - Fax: +39.099.9870285 Email: info@pheedra.it - web: www.pheedra.it	RELAZIONE GEOTECNICA	Pagina 16 di 37
---	----------------------	-----------------

Committente: Edison Rinnovabili S.p.A. Foro Buonaparte 31 20121 Milano (MI)	PROGETTO PER LA REALIZZAZIONE DI UN PARCO EOLICO NEL COMUNE DI CERIGNOLA (FG) NELLE LOCALITA' "LA MOSCHELLA" E "BELLAVEDUTA"	Nome del file: CRE-CIV-REL-026_01
---	---	---

comportamento del terreno circostante in palo. Conseguentemente i parametri sopra riportati possono essere correlati da leggi diverse in funzione delle modalità di esecuzione del palo. Di seguito si descrivono quelle che sono state implementate.

L'adesione " c_a " è correlata alla coesione " c " nel caso di condizioni drenate; oppure alla coesione non drenata " c_u " nel caso di condizioni non drenate, per mezzo del coefficiente d'adesione " ψ " secondo la seguente relazione:

$$c_a = c_* \cdot \psi \quad \text{dove: } c_* = c \text{ (in condizione drenata);}$$

$$c_* = c_u \text{ (in condizione non drenata).}$$

Esprimendo il valore di " c " in N/cm², il coefficiente d'adesione " ψ " può assumere i seguenti valori:

Caquot-Kerisel (consigliato per pali trivellati)

$$\psi = \frac{100 + c_*^2}{100 + 7 \cdot c_*^2}$$

Meyerhof-Murdock (consigliato per pali trivellati)

$$\begin{aligned} \text{se } c_* \leq 5.00 \text{ N/cm}^2 & \Rightarrow \psi = 1.000 - 0.100 \cdot c_* \\ \text{se } c_* > 5.00 \text{ N/cm}^2 & \Rightarrow \psi = 0.525 - 0.005 \cdot c_* \end{aligned}$$

Whitaker-Cooke (consigliato per pali trivellati)

$$\begin{aligned} \text{se } c_* \leq 2.50 \text{ N/cm}^2 & \Rightarrow \psi = 0.90 \\ \text{se } 2.50 < c_* \leq 5.00 \text{ N/cm}^2 & \Rightarrow \psi = 0.80 \\ \text{se } 5.00 < c_* \leq 7.50 \text{ N/cm}^2 & \Rightarrow \psi = 0.60 \\ \text{se } c_* > 7.50 \text{ N/cm}^2 & \Rightarrow \psi = 0.40 \end{aligned}$$

Woodward (consigliato per pali trivellati)

$$\begin{aligned} \text{se } c_* \leq 4.00 \text{ N/cm}^2 & \Rightarrow \psi = 0.90 \\ \text{se } 4.00 < c_* \leq 8.00 \text{ N/cm}^2 & \Rightarrow \psi = 0.60 \\ \text{se } 8.00 < c_* \leq 12.00 \text{ N/cm}^2 & \Rightarrow \psi = 0.50 \\ \text{se } 12.00 < c_* \leq 20.00 \text{ N/cm}^2 & \Rightarrow \psi = 0.40 \\ \text{se } c_* > 20.00 \text{ N/cm}^2 & \Rightarrow \psi = 0.30 \end{aligned}$$

Viggiani e altri (consigliato per pali infissi)

Committente: Edison Rinnovabili S.p.A. Foro Buonaparte 31 20121 Milano (MI)	PROGETTO PER LA REALIZZAZIONE DI UN PARCO EOLICO NEL COMUNE DI CERIGNOLA (FG) NELLE LOCALITA' "LA MOSCHELLA" E "BELLAVEDUTA"	Nome del file: CRE-CIV-REL-026_01
---	---	---

se $c_s \leq 5.00 \text{ N/cm}^2$	\Rightarrow	$\psi = 1.00$
se $5.00 < c_s \leq 10.00 \text{ N/cm}^2$	\Rightarrow	$\psi = 0.70$
se $10.00 < c_s \leq 15.00 \text{ N/cm}^2$	\Rightarrow	$\psi = 0.50$
se $15.00 < c_s \leq 20.00 \text{ N/cm}^2$	\Rightarrow	$\psi = 0.40$
se $c_s > 20.00 \text{ N/cm}^2$	\Rightarrow	$\psi = 0.30$

Il valore della tensione orizzontale " σ_h " è correlato al valore della pressione verticale " σ_v " per mezzo del coefficiente di spinta orizzontale " K_s " secondo la seguente relazione:

$$\sigma_h = \sigma_v \cdot K_s$$

Il valore di " K_s " dipende essenzialmente dal tipo di terreno e dal suo stato d'addensamento nonché dalla tecnologia utilizzata per l'installazione.

Il programma permette di scegliere tra differenti teorie per il calcolo di K_s .

1. Opzione 1:

Metodo "Tomlinson (1971)"

K_s può variare da un limite inferiore pari al coefficiente di spinta a riposo " K_0 " fino a valori prossimi al coefficiente di spinta passiva " K_p "; i valori proposti sono:

pali trivellati: $K_s = K_0 = 1 - \text{sen}(\phi)$

pali infissi: $K_s =$ variabile da: $K_p = 1 + \text{tg}^2(\phi)$ in sommità fino a $K_0 = 1 - \text{sen}(\phi)$ alla punta

2. Opzione 2:

Metodo di "Kulhavy (1983)"

pali trivellati: $K_s = \alpha K_0$ con α variabile tra 2/3 e 1

pali infissi: $K_s = \alpha K_0$ con α variabile da 3/4, per compattazione del terreno trascurabile, fino a 2, nel caso di compattazione significativa.

Il valore dell'angolo di resistenza al taglio all'interfaccia terreno-palo " δ " è funzione della scabrezza della superficie del palo e quindi della modalità esecutiva; i valori proposti sono:

$$\delta = \arctg(\text{tg}(\phi)) \quad (\text{per pali trivellati}) \quad \delta = \arctg\left(\frac{3}{4} \cdot \text{tg}(\phi)\right) \quad (\text{per pali infissi})$$

PHEEDRA Srl Servizi di Ingegneria Integrata Via Lago di Nemi, 90 74121 - Taranto (Italy) Tel. +39.099.7722302 - Fax: +39.099.9870285 Email: info@pheedra.it - web: www.pheedra.it	RELAZIONE GEOTECNICA	Pagina 18 di 37
---	----------------------	-----------------

Committente: Edison Rinnovabili S.p.A. Foro Buonaparte 31 20121 Milano (MI)	PROGETTO PER LA REALIZZAZIONE DI UN PARCO EOLICO NEL COMUNE DI CERIGNOLA (FG) NELLE LOCALITA' "LA MOSCHELLA" E "BELLAVEDUTA"	Nome del file: CRE-CIV-REL-026_01
---	---	---

6. TABULATI DI CALCOLO

6.1. SIMBOLOGIA ADOTTATA NEI TABULATI DI CALCOLO

Per maggior chiarezza nella lettura dei tabulati di calcolo viene riportata la descrizione dei simboli principali utilizzati nella stesura degli stessi. Per comodità di lettura la legenda è suddivisa in paragrafi con la stessa modalità in cui sono stampati i tabulati di calcolo.

Dati geometrici degli elementi costituenti le fondazioni profonde

- X elem. ascissa nel riferimento globale dell'elemento
- Y elem. ordinata nel riferimento globale dell'elemento
- Profon. profondità del piano di posa dell'elemento a partire dal piano campagna
- Base larghezza della sezione trasversale dell'elemento
- Lungh. dimensione dello sviluppo longitudinale dell'elemento
- Altez. altezza della sezione trasversale dell'elemento
- Rotaz. rotazione dell'elemento rispetto al suo baricentro
- Grup. ap. nel caso cui l'elemento faccia parte di una palificata, rappresenta il numero identificativo della stessa
- Ind. Strat. indice della stratigrafia associata all'elemento
- Tip. iniez. tipologia d'iniezione dei micropali ai fini del calcolo della portanza secondo le raccomandazioni di Bustamante e Doix (No iniez. = assenza d'iniezione, Iniez.uni. = iniezione unica, Iniez.rip. = iniezione ripetuta)
- Tip. ter. tipologia di terreno ai fini del calcolo della portanza secondo le raccomandazioni di Bustamante e Doix (Coes. = coesivo, Inc. = incoerente)
- Dia. P. diametro fusto del palo
- Lun. P. lunghezza totale del palo
- Lun. L. lunghezza tratto del palo senza contributo di terreno
- Dis. P. distanza del baricentro del palo dal bordo del plinto
- In. Px interasse principale del palo
- In. Py interasse secondario del palo
- Dia. B. diametro bulbo del palo
- Lun. B. lunghezza della sbulbatura del palo
- E.C.V. coefficiente d'efficienza per carico limite verticale del singolo palo
- E.C.C. coefficiente d'efficienza per carico critico verticale del singolo palo
- E.C.T. coefficiente d'efficienza per carico limite trasversale del singolo palo
- Svin. testa codice di svincolo alla rotazione in testa al palo (0 = non attivo, 1 = attivo)
- Vin. piede codici di vincolo rispettivamente alla rotazione orizzontale, traslazione orizzontale e traslazione verticale applicabili al piede del palo (0 = non attivo, 1 = attivo)
- Asc. X' ascissa del baricentro del singolo palo dell'elemento nel riferimento locale con origine nel baricentro del plinto
- Asc. Y' ordinata del baricentro del singolo palo dell'elemento nel riferimento locale con origine nel baricentro del plinto
- Peso spec. peso specifico del palo
- Mod. El. Pa. modulo elastico normale del palo

PHEEDRA Srl Servizi di Ingegneria Integrata Via Lago di Nemi, 90 74121 - Taranto (Italy) Tel. +39.099.7722302 - Fax: +39.099.9870285 Email: info@pheedra.it - web: www.pheedra.it	RELAZIONE GEOTECNICA	Pagina 19 di 37
---	----------------------	-----------------

Committente: Edison Rinnovabili S.p.A. Foro Buonaparte 31 20121 Milano (MI)	PROGETTO PER LA REALIZZAZIONE DI UN PARCO EOLICO NEL COMUNE DI CERIGNOLA (FG) NELLE LOCALITA' "LA MOSCHELLA" E "BELLAVEDUTA"	Nome del file: CRE-CIV-REL-026_01
---	---	---

Dati di carico degli elementi costituenti le fondazioni profonde

- Cmb numero della combinazione di carico
- Tipologia tipologia della combinazione di carico
- Sismica flag per l'applicazione della riduzione sismica alle caratteristiche meccaniche del terreno di fondazione per la combinazione di carico in esame
- S. Normale sollecitazione normale agente alla quota del piano di fondazione dell'elemento (riferimento locale con origine nel baricentro del plinto)
- S. Tagliante X' sollecitazione tagliante lungo l'asse X' agente alla quota del piano di fondazione dell'elemento (riferimento locale con origine nel baricentro del plinto)
- S. Tagliante Y' sollecitazione tagliante lungo l'asse Y' agente alla quota del piano di fondazione dell'elemento (riferimento locale con origine nel baricentro del plinto)
- S. Flessionale X' sollecitazione flessionale lungo l'asse X' agente alla quota del piano di fondazione dell'elemento (riferimento locale con origine nel baricentro del plinto)
- S. Flessionale Y' sollecitazione flessionale lungo l'asse Y' agente alla quota del piano di fondazione dell'elemento (riferimento locale con origine nel baricentro del plinto)
- S. Torsionale sollecitazione torsionale agente alla quota del piano di fondazione dell'elemento (riferimento locale con origine nel baricentro del plinto)

Valori di calcolo per le fondazioni profonde

- Port. punta carico limite verticale alla punta del palo (valore su singolo palo corretto dal relativo coefficiente d'efficienza)
- Port. lat. carico limite verticale lungo la superficie laterale del fusto del palo (valore su singolo palo corretto dal relativo coefficiente d'efficienza)
- Port. bulbo carico limite verticale lungo la superficie laterale del bulbo del palo (valore su singolo palo corretto dal relativo coefficiente d'efficienza)
- C. Critico carico critico per l'instabilità del palo (valore su singolo palo corretto dal relativo coefficiente d'efficienza)
- Attr. Neg. attrito negativo agente sul palo (valore su singolo palo)
- Peso Palo peso totale del singolo palo
- Cmb numero e tipologia della combinazione di carico
- S. Norm. sollecitazione normale agente alla testa del palo in esame
- V. V. Com. resistenza a compressione del palo in esame (corretto dal relativo coefficiente di sicurezza)
- V. V. Tra. resistenza a trazione del palo in esame (corretto dal relativo coefficiente di sicurezza)
- Ver. Com. rapporto tra la sollecitazione normale agente alla testa del palo e la sua resistenza a compressione (verifica positiva se il rapporto è < 1.0)
- Ver. Tra. rapporto tra la sollecitazione normale agente alla testa del palo e la sua resistenza a trazione (verifica positiva se il rapporto è < 1.0)
- S. Tagl. sollecitazione tagliante agente alla testa del palo
- S. Fles. sollecitazione flessionale agente alla testa del palo
- V. V. Trs. resistenza trasversale del palo in esame (corretto dal relativo coefficiente di sicurezza)
- Ver. Tra. rapporto tra la sollecitazione tagliante agente alla testa del palo e la sua resistenza trasversale (verifica positiva se il rapporto è < 1.0)
- Ced. V. cedimento verticale in corrispondenza della testa del palo
- Ced. H. cedimento orizzontale in corrispondenza della testa del palo

PHEEDRA Srl Servizi di Ingegneria Integrata Via Lago di Nemi, 90 74121 - Taranto (Italy) Tel. +39.099.7722302 - Fax: +39.099.9870285 Email: info@pheedra.it - web: www.pheedra.it	RELAZIONE GEOTECNICA	Pagina 20 di 37
---	----------------------	-----------------

Committente: Edison Rinnovabili S.p.A. Foro Buonaparte 31 20121 Milano (MI)	PROGETTO PER LA REALIZZAZIONE DI UN PARCO EOLICO NEL COMUNE DI CERIGNOLA (FG) NELLE LOCALITA' "LA MOSCHELLA" E "BELLAVEDUTA"	Nome del file: CRE-CIV-REL-026_01
---	---	---

6.2. PARAMETRI DI CALCOLO

Modalità di calcolo della portanza verticale per fondazioni profonde:

Per elementi con pali: Portanza di punta e laterale

Per elementi con micropali: Portanza di punta e laterale

Metodi di calcolo della portanza di punta per fondazioni profonde:

Per terreni sciolti: Vesic

Riduzione della tensione litostatica: No

Per terreni lapidei: Terzaghi

Riduzione di Kishida per pali battuti o trivellati: Si

Metodo di calcolo del coefficiente di spinta orizzontale Ks: Tomlinson

Coefficienti parziali e totali di sicurezza per Tensioni Ammissibili e S.L.E. nel calcolo della portanza per fondazioni profonde:

Coeff. di sicurezza alla punta: 2,50

Coeff. di sicurezza lungo il fusto: 2,50

Coeff. di sicurezza lungo il bulbo: 2,50

Coeff. di sicurezza per palo in trazione: 2,50

6.3. COMBINAZIONI DI CARICO

APPROCCIO PROGETTUALE TIPO 2 - Comb. (A1+M1+R3)

Coefficienti parziali e totali di sicurezza per S.L.U. nel calcolo della portanza per pali trivellati:

I coeff. A1 risultano combinati secondo lo schema presente nella relazione di calcolo della struttura.

- Coeff. M1 per Tan ϕ (statico): 1
- Coeff. M1 per c' (statico): 1
- Coeff. M1 per Cu (statico): 1
- Coeff. M1 per Tan ϕ (sismico): 1
- Coeff. M1 per c' (sismico): 1
- Coeff. M1 per Cu sismico): 1
- Coeff. R3 base: 1,35
- Coeff. R3 laterale in compressione: 1,15
- Coeff. R3 laterale in trazione: 1,25

Fattore di correlazione: 170

PHEEDRA Srl Servizi di Ingegneria Integrata Via Lago di Nemi, 90 74121 - Taranto (Italy) Tel. +39.099.7722302 - Fax: +39.099.9870285 Email: info@pheedra.it - web: www.pheedra.it	RELAZIONE GEOTECNICA	Pagina 21 di 37
---	----------------------	-----------------

Committente: Edison Rinnovabili S.p.A. Foro Buonaparte 31 20121 Milano (MI)	PROGETTO PER LA REALIZZAZIONE DI UN PARCO EOLICO NEL COMUNE DI CERIGNOLA (FG) NELLE LOCALITA' "LA MOSCHELLA" E "BELLAVEDUTA"	Nome del file: CRE-CIV-REL-026_01
---	---	---

6.4. ARCHIVIO STRATIGRAFIE

Indice / Descrizione: 001 / Nuova stratigrafia n. 1

Numero strati: 1

Profondità faida: assente

Strato n. Neg.	Quota di riferimento	Spessore	Indice / Descrizione terreno	Attrito
1	da 0,0 a -10000,0 cm	10000,0 cm	001 / SABBIE ARGILLOSE CON LIVELLI ARENACEI	Assente

6.5. ARCHIVIO TERRENI

Indice / Descrizione terreno: **001 / SABBIE ARGILLOSE CON LIVELLI ARENACEI**

Comportamento del terreno: condizione drenata

Peso Spec.	P. Spec.	Sat.	Angolo Res.	Coesione	Mod.Elast.	Mod.Edom.	Dens.Rel.	Poisson	C. Ades.
daN/cm ²	daN/cm ²		Gradi°	daN/cm ²	daN/cm ²	daN/cm ²	%	%	
1,890 E-3	1,890 E-3		39,100	0,020	6240,566	37500,000	90,0	0,470	0,98

6.6. DATI GEOMETRICI DEGLI ELEMENTI COSTITUENTI LE FONDAZIONI PROFONDE

Elemento: 69 - Palo singolo - Tipologia pali: trivellati

X elem.	Y elem.	Prof.	Base	Lungh.	Altez.	Rot.	Grup.ap.	Ind.strat.
cm	cm	cm	cm	cm	cm	Gradi°	n.	n.
-700,0	-700,0	200,0	0,0	0,0	400,0	0,00	69	001

Dia. P.	Lun. P.	Lun. L.	Dist.P.	In. Px	In. Py	Dia. B.	Lun. B.	E.C.V.	E.C.C.	E.C.T.	Svin.testa	Vin.piede
cm	cm	cm	cm	cm	cm	cm	cm				codice	codice
100,0	3000,0	0,0	0,0	0,0	0,0	0,0	0,0	1,00	1,00	1,00	0	0; 0; 1

Palo	Asc. X'	Ord. Y'
n.	cm	cm
1	0,0	0,0

Elemento: 76 - Palo singolo - Tipologia pali: trivellati

X elem.	Y elem.	Prof.	Base	Lungh.	Altez.	Rot.	Grup.ap.	Ind.strat.
cm	cm	cm	cm	cm	cm	Gradi°	n.	n.
0,0	-700,0	200,0	0,0	0,0	400,0	0,00	76	001

Dia. P.	Lun. P.	Lun. L.	Dist.P.	In. Px	In. Py	Dia. B.	Lun. B.	E.C.V.	E.C.C.	E.C.T.	Svin.testa	Vin.piede
cm	cm	cm	cm	cm	cm	cm	cm				codice	codice
100,0	3000,0	0,0	0,0	0,0	0,0	0,0	0,0	1,00	1,00	1,00	0	0; 0; 1

Palo	Asc. X'	Ord. Y'
n.	cm	cm
1	0,0	0,0

Elemento: 83 - Palo singolo - Tipologia pali: trivellati

X elem.	Y elem.	Prof.	Base	Lungh.	Altez.	Rot.	Grup.ap.	Ind.strat.
cm	cm	cm	cm	cm	cm	Gradi°	n.	n.
700,0	-700,0	200,0	0,0	0,0	400,0	0,00	83	001

Dia. P.	Lun. P.	Lun. L.	Dist.P.	In. Px	In. Py	Dia. B.	Lun. B.	E.C.V.	E.C.C.	E.C.T.	Svin.testa	Vin.piede
cm	cm	cm	cm	cm	cm	cm	cm				codice	codice
100,0	3000,0	0,0	0,0	0,0	0,0	0,0	0,0	1,00	1,00	1,00	0	0; 0; 1

Palo	Asc. X'	Ord. Y'
n.	cm	cm
1	0,0	0,0

PHEEDRA Srl Servizi di Ingegneria Integrata Via Lago di Nemi, 90 74121 - Taranto (Italy) Tel. +39.099.7722302 - Fax: +39.099.9870285 Email: info@pheedra.it - web: www.pheedra.it	RELAZIONE GEOTECNICA	Pagina 22 di 37
---	-----------------------------	-----------------

Committente: Edison Rinnovabili S.p.A. Foro Buonaparte 31 20121 Milano (MI)	PROGETTO PER LA REALIZZAZIONE DI UN PARCO EOLICO NEL COMUNE DI CERIGNOLA (FG) NELLE LOCALITA' "LA MOSCHELLA" E "BELLAVEDUTA"	Nome del file: CRE-CIV-REL-026_01
---	---	---

Elemento: 216 - Palo singolo - Tipologia pali: trivellati

X elem.	Y elem.	Prof.	Base	Lungh.	Altez.	Rot.	Grup.ap.	Ind.strat.
cm	cm	cm	cm	cm	cm	Gradi°	n.	n.
-700,0	0,0	200,0	0,0	0,0	400,0	0,00	216	001

Dia. P.	Lun. P.	Lun. L.	Dist.P.	In. Px	In. Py	Dia. B.	Lun. B.	E.C.V.	E.C.C.	E.C.T.	Svin.testa	Vin.piede
cm	cm	cm	cm	cm	cm	cm	cm				codice	codice
100,0	3000,0	0,0	0,0	0,0	0,0	0,0	0,0	1,00	1,00	1,00	0	0; 0; 1

Palo	Asc. X'	Ord. Y'
n.	cm	cm
1	0,0	0,0

Elemento: 223 - Palo singolo - Tipologia pali: trivellati

X elem.	Y elem.	Prof.	Base	Lungh.	Altez.	Rot.	Grup.ap.	Ind.strat.
cm	cm	cm	cm	cm	cm	Gradi°	n.	n.
0,0	0,0	200,0	0,0	0,0	400,0	0,00	223	001

Dia. P.	Lun. P.	Lun. L.	Dist.P.	In. Px	In. Py	Dia. B.	Lun. B.	E.C.V.	E.C.C.	E.C.T.	Svin.testa	Vin.piede
cm	cm	cm	cm	cm	cm	cm	cm				codice	codice
100,0	3000,0	0,0	0,0	0,0	0,0	0,0	0,0	1,00	1,00	1,00	0	0; 0; 1

Palo	Asc. X'	Ord. Y'
n.	cm	cm
1	0,0	0,0

Elemento: 230 - Palo singolo - Tipologia pali: trivellati

X elem.	Y elem.	Prof.	Base	Lungh.	Altez.	Rot.	Grup.ap.	Ind.strat.
cm	cm	cm	cm	cm	cm	Gradi°	n.	n.
700,0	0,0	200,0	0,0	0,0	400,0	0,00	230	001

Dia. P.	Lun. P.	Lun. L.	Dist.P.	In. Px	In. Py	Dia. B.	Lun. B.	E.C.V.	E.C.C.	E.C.T.	Svin.testa	Vin.piede
cm	cm	cm	cm	cm	cm	cm	cm				codice	codice
100,0	3000,0	0,0	0,0	0,0	0,0	0,0	0,0	1,00	1,00	1,00	0	0; 0; 1

Palo	Asc. X'	Ord. Y'
n.	cm	cm
1	0,0	0,0

Elemento: 363 - Palo singolo - Tipologia pali: trivellati

X elem.	Y elem.	Prof.	Base	Lungh.	Altez.	Rot.	Grup.ap.	Ind.strat.
cm	cm	cm	cm	cm	cm	Gradi°	n.	n.
-700,0	700,0	200,0	0,0	0,0	400,0	0,00	363	001

Dia. P.	Lun. P.	Lun. L.	Dist.P.	In. Px	In. Py	Dia. B.	Lun. B.	E.C.V.	E.C.C.	E.C.T.	Svin.testa	Vin.piede
cm	cm	cm	cm	cm	cm	cm	cm				codice	codice
100,0	3000,0	0,0	0,0	0,0	0,0	0,0	0,0	1,00	1,00	1,00	0	0; 0; 1

Palo	Asc. X'	Ord. Y'
n.	cm	cm
1	0,0	0,0

Elemento: 370 - Palo singolo - Tipologia pali: trivellati

PHEEDRA Srl Servizi di Ingegneria Integrata Via Lago di Nemi, 90 74121 - Taranto (Italy) Tel. +39.099.7722302 - Fax: +39.099.9870285 Email: info@pheedra.it - web: www.pheedra.it	RELAZIONE GEOTECNICA	Pagina 23 di 37
---	----------------------	-----------------

Committente: Edison Rinnovabili S.p.A. Foro Buonaparte 31 20121 Milano (MI)	PROGETTO PER LA REALIZZAZIONE DI UN PARCO EOLICO NEL COMUNE DI CERIGNOLA (FG) NELLE LOCALITA' "LA MOSCHELLA" E "BELLAVEDUTA"	Nome del file: CRE-CIV-REL-026_01
---	---	---

X elem.	Y elem.	Prof.	Base	Lungh.	Altez.	Rot.	Grup.ap.	Ind.strat.
cm	cm	cm	cm	cm	cm	Gradi°	n.	n.
0,0	700,0	200,0	0,0	0,0	400,0	0,00	370	001

Dia. P.	Lun. P.	Lun. L.	Dist.P.	In. Px	In. Py	Dia. B.	Lun. B.	E.C.V.	E.C.C.	E.C.T.	Svin.testa	Vin.piede
cm	cm	cm	cm	cm	cm	cm	cm				codice	codice
100,0	3000,0	0,0	0,0	0,0	0,0	0,0	0,0	1,00	1,00	1,00	0	0; 0; 1

Palo	Asc. X'	Ord. Y'
n.	cm	cm
1	0,0	0,0

Elemento: 377 - Palo singolo - Tipologia pali: trivellati

X elem.	Y elem.	Prof.	Base	Lungh.	Altez.	Rot.	Grup.ap.	Ind.strat.
cm	cm	cm	cm	cm	cm	Gradi°	n.	n.
700,0	700,0	200,0	0,0	0,0	400,0	0,00	377	001

Dia. P.	Lun. P.	Lun. L.	Dist.P.	In. Px	In. Py	Dia. B.	Lun. B.	E.C.V.	E.C.C.	E.C.T.	Svin.testa	Vin.piede
cm	cm	cm	cm	cm	cm	cm	cm				codice	codice
100,0	3000,0	0,0	0,0	0,0	0,0	0,0	0,0	1,00	1,00	1,00	0	0; 0; 1

Palo	Asc. X'	Ord. Y'
n.	cm	cm
1	0,0	0,0

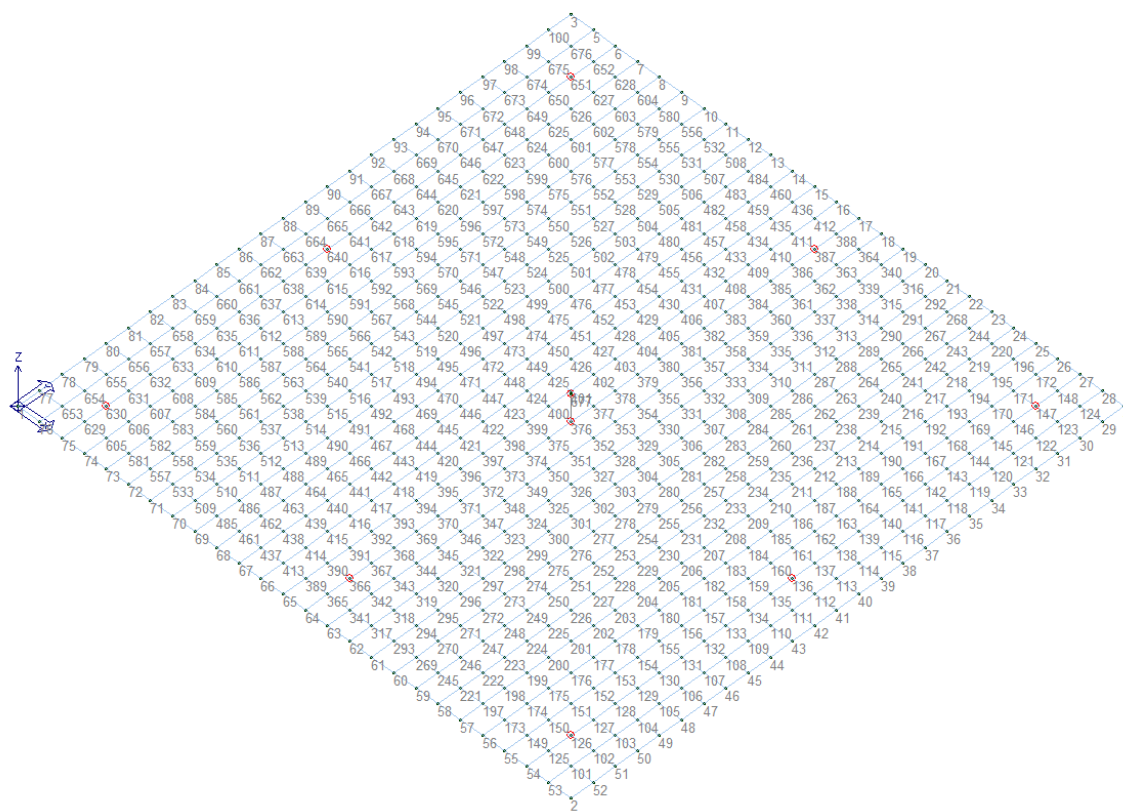


Figura 1 – Modello nodale platea di fondazione

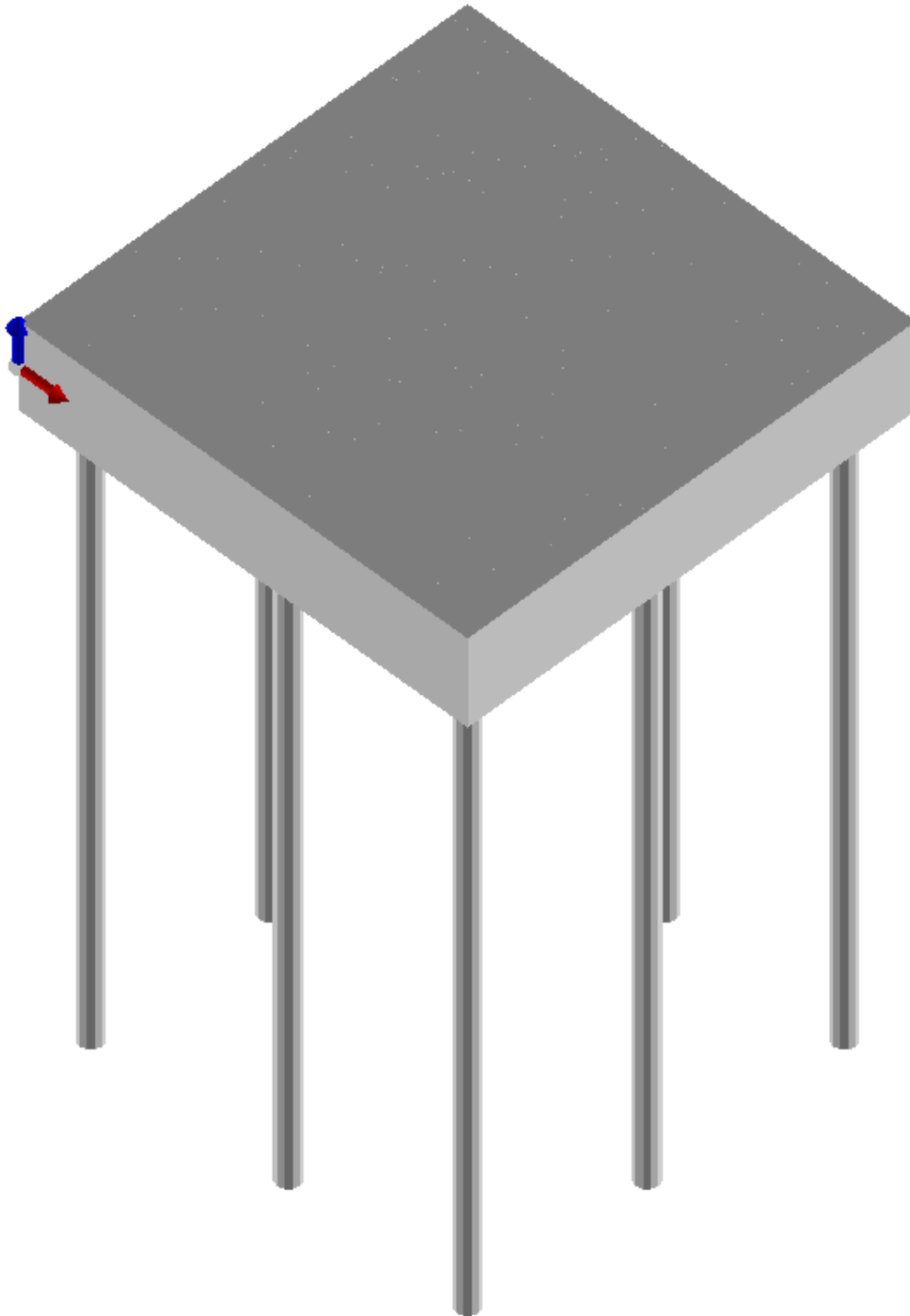


Figura 2 – Modello solido platea con pali di fondazione

Committente: Edison Rinnovabili S.p.A. Foro Buonaparte 31 20121 Milano (MI)	PROGETTO PER LA REALIZZAZIONE DI UN PARCO EOLICO NEL COMUNE DI CERIGNOLA (FG) NELLE LOCALITA' "LA MOSCHELLA" E "BELLAVEDUTA"	Nome del file: CRE-CIV-REL-026_01
---	---	---

Macro platea: 1

Risultati più gravosi per cmb. di tipo **SLU STR**:

Sgm. Lt (tens. litostatica) = -0.3780 daN/cm²

Qlim = Qlim c + Qlim q + Qlim g + Qres P = 1.1335 + 17.2102 + 28.2223 + 0.0000

Qmax / Qlim = 1.3301 / 46.5659 = 0,029 Ok (Cmb. n. 001)

TB / TBlim = 0.0 / 2408899.0 = 0,000 Ok (Cmb. n. 001)

TL / TLim = 29580.7 / 1880080.0 = 0,016 Ok (Cmb. n. 003)

Sollecitazioni:

Cmb	Tipo	Sism.	Ecc. B	Ecc. L	S. Taglio B	S. Taglio L	S. Normale	T.T. min	T.T. max
n.			cm	cm	daN	daN	daN	daN/cm ²	daN/cm ²
001	SLU STR	No	0.000	-0.473	0.0	29580.7	-4869110.0	-1.1588	-1.3301
003	SLU STR	No	0.000	-0.615	0.0	29580.7	-3745470.0	-0.8912	-1.0232

Risultati più gravosi per cmb. di tipo **SLV A1 sism.**:

Sgm. Lt (tens. litostatica) = -0.3780 daN/cm²

Qlim = Qlim c + Qlim q + Qlim g + Qres P = 1.1438 + 17.3649 + 28.6418 + 0.0000

Qmax / Qlim = 1.0232 / 47.1505 = 0,022 Ok (Cmb. n. 013)

TB / TBlim = 251.3 / 1861604.0 = 0,000 Ok (Cmb. n. 013)

TL / TLim = 0.0 / 1861604.0 = 0,000 Ok (Cmb. n. 013)

Sollecitazioni:

Cmb	Tipo	Sism.	Ecc. B	Ecc. L	S. Taglio B	S. Taglio L	S. Normale	T.T. min	T.T. max
n.			cm	cm	daN	daN	daN	daN/cm ²	daN/cm ²
013	SLV A1	Si	0.125	0.000	251.3	0.0	-3745472.0	-0.8917	-1.0232

Risultati più gravosi per cmb. di tipo **SLD sism.**:

Sgm. Lt (tens. litostatica) = -0.3780 daN/cm²

Qlim = Qlim c + Qlim q + Qlim g + Qres P = 1.1439 + 17.3658 + 28.6470 + 0.0000

Qmax / Qlim = 1.0232 / 47.1567 = 0,022 Ok (Cmb. n. 015)

TB / TBlim = 110.4 / 1861607.0 = 0,000 Ok (Cmb. n. 016)

TL / TLim = 0.0 / 1861607.0 = 0,000 Ok (Cmb. n. 015)

Sollecitazioni:

Cmb	Tipo	Sism.	Ecc. B	Ecc. L	S. Taglio B	S. Taglio L	S. Normale	T.T. min	T.T. max
n.			cm	cm	daN	daN	daN	daN/cm ²	daN/cm ²
015	SLD	Si	0.055	0.000	110.4	0.0	-3745471.0	-0.8918	-1.0232
016	SLD	Si	-0.055	0.000	-110.4	0.0	-3745471.0	-0.8918	-1.0232

6.7. VALORI DI CALCOLO DELLA PORTANZA PER FONDAZIONI PROFONDE

Elemento: 69 - Palo singolo

Nq = 194.753, σ_{punta} = 6.048, ϕ = 36.1, Nc = 265.702, c punta = 0.020

Port. lat. = 927355.8 daN, Port. punta = 9292672.0 daN, P.P.Palo = 58904.9 daN

Cmb.	Tipo	Palo	coord.X	coord.Y	N	N lim	Ver.N	Stato
n.		n.	cm	cm	daN	daN		
001	SLU STR	1	0.000	0.000	-80270.0	-4464541.0	0,018	Ok

Sollecitazioni:

Cmb	Tipo	Sism.	N	Tx	Ty	Mx	My
n.			daN	daN	daN	daN cm	daN cm
001	SLU STR	No	-80270.0	-746.5	9574.7	266900.0	129100.0

Elemento: 76 - Palo singolo

Nq = 194.753, σ_{punta} = 6.048, ϕ = 36.1, Nc = 265.702, c punta = 0.020

Port. lat. = 927355.8 daN, Port. punta = 9292672.0 daN, P.P.Palo = 58904.9 daN

Cmb.	Tipo	Palo	coord.X	coord.Y	N	N lim	Ver.N	Stato
n.		n.	cm	cm	daN	daN		
001	SLU STR	1	0.000	0.000	-82270.0	-4464541.0	0,018	Ok

Sollecitazioni:

Cmb	Tipo	Sism.	N	Tx	Ty	Mx	My
n.			daN	daN	daN	daN cm	daN cm
001	SLU STR	No	-82270.0	0.0	10190.0	252800.0	0.0

Elemento: 83 - Palo singolo

Nq = 194.753, σ_{punta} = 6.048, ϕ = 36.1, Nc = 265.702, c punta = 0.020

Port. lat. = 927355.8 daN, Port. punta = 9292672.0 daN, P.P.Palo = 58904.9 daN

PHEEDRA Srl Servizi di Ingegneria Integrata Via Lago di Nemi, 90 74121 - Taranto (Italy) Tel. +39.099.7722302 - Fax: +39.099.9870285 Email: info@pheedra.it - web: www.pheedra.it	RELAZIONE GEOTECNICA	Pagina 26 di 37
---	-----------------------------	-----------------

Committente: Edison Rinnovabili S.p.A. Foro Buonaparte 31 20121 Milano (MI)	PROGETTO PER LA REALIZZAZIONE DI UN PARCO EOLICO NEL COMUNE DI CERIGNOLA (FG) NELLE LOCALITA' "LA MOSCHELLA" E "BELLAVEDUTA"	Nome del file: CRE-CIV-REL-026_01
---	---	---

Cmb.	Tipo	Palo	coord.X	coord.Y	N	N lim	Ver.N	Stato
n.		n.	cm	cm	daN	daN		
001	SLU STR	1	0.000	0.000	-80270.0	-4464541.0	0,018	Ok

Sollecitazioni:

Cmb	Tipo	Sism.	N	Tx	Ty	Mx	My
n.			daN	daN	daN	daN cm	daN cm
001	SLU STR	No	-80270.0	746.5	9574.7	266900.0	-129100.0

Elemento: 216 - Palo singolo

$N_q = 194.753$, $\sigma_{punta} = 6.048$, $\phi = 36.1$, $N_c = 265.702$, $c_{punta} = 0.020$

Port. lat. = 927355.8 daN, Port. punta = 9292672.0 daN, P.P.Palo = 58904.9 daN

Cmb.	Tipo	Palo	coord.X	coord.Y	N	N lim	Ver.N	Stato
n.		n.	cm	cm	daN	daN		
001	SLU STR	1	0.000	0.000	-82160.0	-4464541.0	0,018	Ok

Sollecitazioni:

Cmb	Tipo	Sism.	N	Tx	Ty	Mx	My
n.			daN	daN	daN	daN cm	daN cm
001	SLU STR	No	-82160.0	-1709.2	10920.0	419600.0	201800.0

Elemento: 223 - Palo singolo

$N_q = 194.753$, $\sigma_{punta} = 6.048$, $\phi = 36.1$, $N_c = 265.702$, $c_{punta} = 0.020$

Port. lat. = 927355.8 daN, Port. punta = 9292672.0 daN, P.P.Palo = 58904.9 daN

Cmb.	Tipo	Palo	coord.X	coord.Y	N	N lim	Ver.N	Stato
n.		n.	cm	cm	daN	daN		
001	SLU STR	1	0.000	0.000	-90280.0	-4464541.0	0,020	Ok

Sollecitazioni:

Cmb	Tipo	Sism.	N	Tx	Ty	Mx	My
n.			daN	daN	daN	daN cm	daN cm
001	SLU STR	No	-90280.0	0.0	16570.0	702100.0	0.0

Elemento: 230 - Palo singolo

$N_q = 194.753$, $\sigma_{punta} = 6.048$, $\phi = 36.1$, $N_c = 265.702$, $c_{punta} = 0.020$

Port. lat. = 927355.8 daN, Port. punta = 9292672.0 daN, P.P.Palo = 58904.9 daN

Cmb.	Tipo	Palo	coord.X	coord.Y	N	N lim	Ver.N	Stato
n.		n.	cm	cm	daN	daN		
001	SLU STR	1	0.000	0.000	-82160.0	-4464541.0	0,018	Ok

Sollecitazioni:

Cmb	Tipo	Sism.	N	Tx	Ty	Mx	My
n.			daN	daN	daN	daN cm	daN cm
001	SLU STR	No	-82160.0	1709.2	10920.0	419600.0	-201800.0

Elemento: 363 - Palo singolo

$N_q = 194.753$, $\sigma_{punta} = 6.048$, $\phi = 36.1$, $N_c = 265.702$, $c_{punta} = 0.020$

Port. lat. = 927355.8 daN, Port. punta = 9292672.0 daN, P.P.Palo = 58904.9 daN

Cmb.	Tipo	Palo	coord.X	coord.Y	N	N lim	Ver.N	Stato
n.		n.	cm	cm	daN	daN		
005	SLU STR	1	0.000	0.000	-80160.0	-4464541.0	0,018	Ok

Sollecitazioni:

Cmb	Tipo	Sism.	N	Tx	Ty	Mx	My
n.			daN	daN	daN	daN cm	daN cm
005	SLU STR	No	-80160.0	-1516.5	7709.2	393400.0	155900.0

Elemento: 370 - Palo singolo

$N_q = 194.753$, $\sigma_{punta} = 6.048$, $\phi = 36.1$, $N_c = 265.702$, $c_{punta} = 0.020$

Port. lat. = 927355.8 daN, Port. punta = 9292672.0 daN, P.P.Palo = 58904.9 daN

Cmb.	Tipo	Palo	coord.X	coord.Y	N	N lim	Ver.N	Stato
n.		n.	cm	cm	daN	daN		
005	SLU STR	1	0.000	0.000	-82100.0	-4464541.0	0,018	Ok

Sollecitazioni:

Cmb	Tipo	Sism.	N	Tx	Ty	Mx	My
n.			daN	daN	daN	daN cm	daN cm
005	SLU STR	No	-82100.0	0.0	8847.3	474500.0	0.0

PHEEDRA Srl Servizi di Ingegneria Integrata Via Lago di Nemi, 90 74121 - Taranto (Italy) Tel. +39.099.7722302 - Fax: +39.099.9870285 Email: info@pheedra.it - web: www.pheedra.it	RELAZIONE GEOTECNICA	Pagina 27 di 37
---	-----------------------------	-----------------

Committente: Edison Rinnovabili S.p.A. Foro Buonaparte 31 20121 Milano (MI)	PROGETTO PER LA REALIZZAZIONE DI UN PARCO EOLICO NEL COMUNE DI CERIGNOLA (FG) NELLE LOCALITA' "LA MOSCHELLA" E "BELLAVEDUTA"	Nome del file: CRE-CIV-REL-026_01
---	---	---

Elemento: 377 - Palo singolo

$N_q = 194.753$, $\sigma_{punta} = 6.048$, $\phi = 36.1$, $N_c = 265.702$, $c_{punta} = 0.020$

Port. lat. = 927355.8 daN, Port. punta = 9292672.0 daN, P.P.Palo = 58904.9 daN

Cmb.	Tipo	Palo	coord.X	coord.Y	N	N lim	Ver.N	Stato
n.		n.	cm	cm	daN	daN		
005	SLU STR	1	0.000	0.000	-80160.0	-4464541.0	0,018	Ok

Sollecitazioni:

Cmb	Tipo	Sism.	N	Tx	Ty	Mx	My
n.			daN	daN	daN	daN cm	daN cm
005	SLU STR	No	-80160.0	1516.5	7709.2	393400.0	-155900.0

VALORI DI CALCOLO DELLA PORTANZA ORIZZONTALE PER FONDAZIONI PROFONDE

Elemento: 69 - Palo singolo

Cmb.	Tipo	Palo	coord.X	coord.Y	Ved	Mecc.	Mu	V lim	Ver.V
n.	Stato	n.	cm	cm	daN	-	daN cm	daN	
003	SLU STR	1	0.000	0.000	9868.9	P. Lungo	5066308.0	27378.2	0,360

Ver. OK

Sollecitazioni:

Cmb	Tipo	Sism.	N	Tx	Ty	Mx	My
n.			daN	daN	daN	daN cm	daN cm
003	SLU STR	No	-61760.0	-463.1	9858.1	300600.0	95410.0

Elemento: 76 - Palo singolo

Cmb.	Tipo	Palo	coord.X	coord.Y	Ved	Mecc.	Mu	V lim	Ver.V
n.	Stato	n.	cm	cm	daN	-	daN cm	daN	
003	SLU STR	1	0.000	0.000	10580.0	P. Lungo	5120070.0	28358.5	0,373

Ver. OK

Sollecitazioni:

Cmb	Tipo	Sism.	N	Tx	Ty	Mx	My
n.			daN	daN	daN	daN cm	daN cm
003	SLU STR	No	-63310.0	0.0	10580.0	299400.0	0.0

Elemento: 83 - Palo singolo

Cmb.	Tipo	Palo	coord.X	coord.Y	Ved	Mecc.	Mu	V lim	Ver.V
n.	Stato	n.	cm	cm	daN	-	daN cm	daN	
003	SLU STR	1	0.000	0.000	9868.9	P. Lungo	5066308.0	27378.2	0,360

Ver. OK

Sollecitazioni:

Cmb	Tipo	Sism.	N	Tx	Ty	Mx	My
n.			daN	daN	daN	daN cm	daN cm
003	SLU STR	No	-61760.0	463.1	9858.1	300600.0	-95410.0

Elemento: 216 - Palo singolo

Cmb.	Tipo	Palo	coord.X	coord.Y	Ved	Mecc.	Mu	V lim	Ver.V
n.	Stato	n.	cm	cm	daN	-	daN cm	daN	
003	SLU STR	1	0.000	0.000	10998.9	P. Lungo	5116260.0	25783.5	0,427

Ver. OK

Sollecitazioni:

Cmb	Tipo	Sism.	N	Tx	Ty	Mx	My
n.			daN	daN	daN	daN cm	daN cm
003	SLU STR	No	-63200.0	-1314.8	10920.0	419600.0	155200.0

Elemento: 223 - Palo singolo

Cmb.	Tipo	Palo	coord.X	coord.Y	Ved	Mecc.	Mu	V lim	Ver.V
n.	Stato	n.	cm	cm	daN	-	daN cm	daN	

Committente: Edison Rinnovabili S.p.A. Foro Buonaparte 31 20121 Milano (MI)	PROGETTO PER LA REALIZZAZIONE DI UN PARCO EOLICO NEL COMUNE DI CERIGNOLA (FG) NELLE LOCALITA' "LA MOSCHELLA" E "BELLAVEDUTA"	Nome del file: CRE-CIV-REL-026_01
---	---	---

003 SLU STR 1 0.000 0.000 16570.0 P. Lungo 5331512.0 26179.7 0,633
 Ver. OK

Sollecitazioni:

Cmb	Tipo	Sism.	N	Tx	Ty	Mx	My
n.			daN	daN	daN	daN cm	daN cm
003	SLU STR	No	-69450.0	0.0	16570.0	702100.0	0.0

Elemento: 230 - Palo singolo

Cmb.	Tipo	Palo	coord.X	coord.Y	Ved	Mecc.	Mu	V lim	Ver.V
n.	Stato	n.	cm	cm	daN	-	daN cm	daN	
003	SLU STR	1	0.000	0.000	10998.9	P. Lungo	5116260.0	25783.5	0,427

Ver. OK

Sollecitazioni:

Cmb	Tipo	Sism.	N	Tx	Ty	Mx	My
n.			daN	daN	daN	daN cm	daN cm
003	SLU STR	No	-63200.0	1314.8	10920.0	419600.0	-155200.0

Elemento: 363 - Palo singolo

Cmb.	Tipo	Palo	coord.X	coord.Y	Ved	Mecc.	Mu	V lim	Ver.V
n.	Stato	n.	cm	cm	daN	-	daN cm	daN	
003	SLU STR	1	0.000	0.000	11836.2	P. Lungo	5061444.0	24658.5	0,480

Ver. OK

Sollecitazioni:

Cmb	Tipo	Sism.	N	Tx	Ty	Mx	My
n.			daN	daN	daN	daN cm	daN cm
003	SLU STR	No	-61620.0	-1425.7	11750.0	524900.0	128900.0

Elemento: 370 - Palo singolo

Cmb.	Tipo	Palo	coord.X	coord.Y	Ved	Mecc.	Mu	V lim	Ver.V
n.	Stato	n.	cm	cm	daN	-	daN cm	daN	
003	SLU STR	1	0.000	0.000	13210.0	P. Lungo	5112448.0	24738.4	0,534

Ver. OK

Sollecitazioni:

Cmb	Tipo	Sism.	N	Tx	Ty	Mx	My
n.			daN	daN	daN	daN cm	daN cm
003	SLU STR	No	-63090.0	0.0	13210.0	609800.0	0.0

Elemento: 377 - Palo singolo

Cmb.	Tipo	Palo	coord.X	coord.Y	Ved	Mecc.	Mu	V lim	Ver.V
n.	Stato	n.	cm	cm	daN	-	daN cm	daN	
003	SLU STR	1	0.000	0.000	11836.2	P. Lungo	5061444.0	24658.5	0,480

Ver. OK

Sollecitazioni:

Cmb	Tipo	Sism.	N	Tx	Ty	Mx	My
n.			daN	daN	daN	daN cm	daN cm
003	SLU STR	No	-61620.0	1425.7	11750.0	524900.0	-128900.0

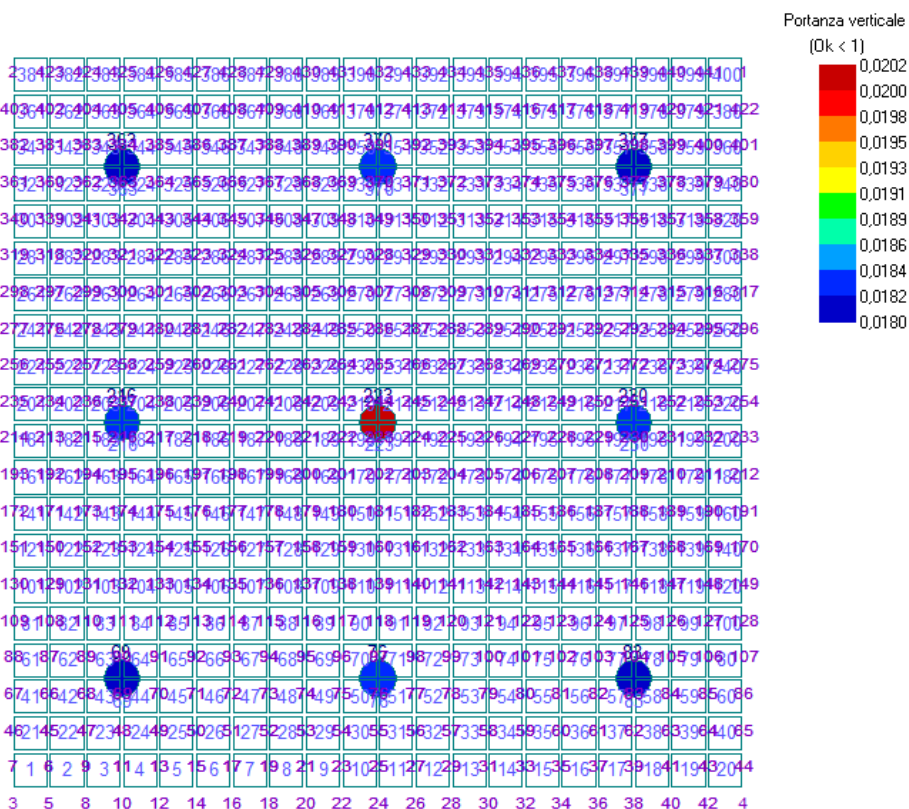


Figura 3 – Portanza massima verticale

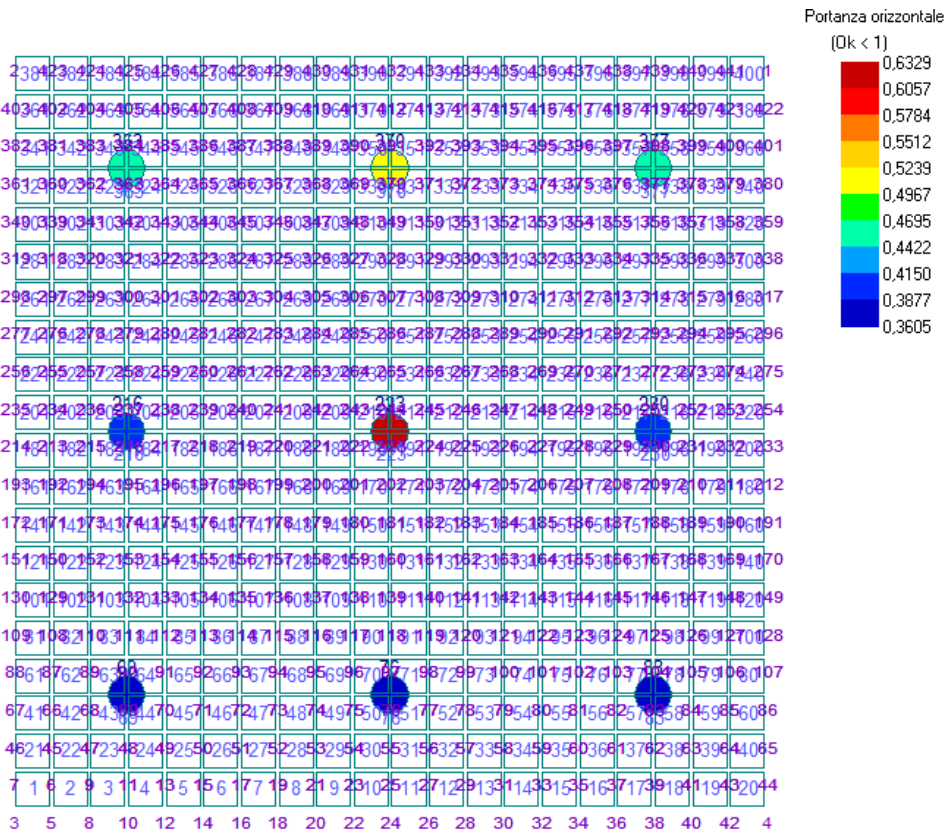


Figura 4 – Portanza massima orizzontale

Committente: Edison Rinnovabili S.p.A. Foro Buonaparte 31 20121 Milano (MI)	PROGETTO PER LA REALIZZAZIONE DI UN PARCO EOLICO NEL COMUNE DI CERIGNOLA (FG) NELLE LOCALITA' "LA MOSCHELLA" E "BELLAVEDUTA"	Nome del file: CRE-CIV-REL-026_01
---	---	---

6.8. VALORI DI CALCOLO DEI CEDIMENTI PER FONDAZIONI PROFONDE

Elemento: 69 - Palo singolo

Cmb. (Tipo)	Palo	coord.X	coord.Y	N	Ced.Vert
n.	n.	cm	cm	daN	cm
009 (SLE rare)	1	0.000	0.000	-61550.0	0.000

Sollecitazioni:

Cmb	Tipo	Sism.	N	Tx	Ty	Mx	My
n.			daN	daN	daN	daN cm	daN cm
009	SLE rare	No	-61550.0	-502.6	5427.2	235800.0	83470.0

Elemento: 76 - Palo singolo

Cmb. (Tipo)	Palo	coord.X	coord.Y	N	Ced.Vert
n.	n.	cm	cm	daN	cm
009 (SLE rare)	1	0.000	0.000	-63080.0	0.000

Sollecitazioni:

Cmb	Tipo	Sism.	N	Tx	Ty	Mx	My
n.			daN	daN	daN	daN cm	daN cm
009	SLE rare	No	-63080.0	0.0	5541.3	220900.0	0.0

Elemento: 83 - Palo singolo

Cmb. (Tipo)	Palo	coord.X	coord.Y	N	Ced.Vert
n.	n.	cm	cm	daN	cm
009 (SLE rare)	1	0.000	0.000	-61550.0	0.000

Sollecitazioni:

Cmb	Tipo	Sism.	N	Tx	Ty	Mx	My
n.			daN	daN	daN	daN cm	daN cm
009	SLE rare	No	-61550.0	502.6	5427.2	235800.0	-83470.0

Elemento: 216 - Palo singolo

Cmb. (Tipo)	Palo	coord.X	coord.Y	N	Ced.Vert
n.	n.	cm	cm	daN	cm
009 (SLE rare)	1	0.000	0.000	-63020.0	0.000

Sollecitazioni:

Cmb	Tipo	Sism.	N	Tx	Ty	Mx	My
n.			daN	daN	daN	daN cm	daN cm
009	SLE rare	No	-63020.0	-920.6	6136.3	330700.0	126300.0

Elemento: 223 - Palo singolo

Cmb. (Tipo)	Palo	coord.X	coord.Y	N	Ced.Vert
n.	n.	cm	cm	daN	cm
009 (SLE rare)	1	0.000	0.000	-69250.0	0.000

Sollecitazioni:

Cmb	Tipo	Sism.	N	Tx	Ty	Mx	My
n.			daN	daN	daN	daN cm	daN cm
009	SLE rare	No	-69250.0	0.0	8065.5	467100.0	0.0

Elemento: 230 - Palo singolo

Cmb. (Tipo)	Palo	coord.X	coord.Y	N	Ced.Vert
n.	n.	cm	cm	daN	cm
009 (SLE rare)	1	0.000	0.000	-63020.0	0.000

Sollecitazioni:

Cmb	Tipo	Sism.	N	Tx	Ty	Mx	My
n.			daN	daN	daN	daN cm	daN cm
009	SLE rare	No	-63020.0	920.6	6136.3	330700.0	-126300.0

Elemento: 363 - Palo singolo

Cmb. (Tipo)	Palo	coord.X	coord.Y	N	Ced.Vert
n.	n.	cm	cm	daN	cm
009 (SLE rare)	1	0.000	0.000	-61480.0	0.000

Sollecitazioni:

Cmb	Tipo	Sism.	N	Tx	Ty	Mx	My
n.			daN	daN	daN	daN cm	daN cm
009	SLE rare	No	-61480.0	-826.7	6756.5	418600.0	99320.0

Elemento: 370 - Palo singolo

Cmb. (Tipo)	Palo	coord.X	coord.Y	N	Ced.Vert
n.	n.	cm	cm	daN	cm

PHEEDRA Srl Servizi di Ingegneria Integrata Via Lago di Nemi, 90 74121 - Taranto (Italy) Tel. +39.099.7722302 - Fax: +39.099.9870285 Email: info@pheedra.it - web: www.pheedra.it	RELAZIONE GEOTECNICA	Pagina 31 di 37
---	-----------------------------	-----------------

Committente: Edison Rinnovabili S.p.A. Foro Buonaparte 31 20121 Milano (MI)	PROGETTO PER LA REALIZZAZIONE DI UN PARCO EOLICO NEL COMUNE DI CERIGNOLA (FG) NELLE LOCALITA' "LA MOSCHELLA" E "BELLAVEDUTA"	Nome del file: CRE-CIV-REL-026_01
---	---	---

009 (SLE rare) 1 0.000 0.000 -62960.0 0.000

Sollecitazioni:

Cmb	Tipo	Sism.	N	Tx	Ty	Mx	My
n.			daN	daN	daN	daN cm	daN cm
009	SLE rare	No	-62960.0	0.0	7382.6	473400.0	0.0

Elemento: 377 - Palo singolo

Cmb. (Tipo)	Palo	coord.X	coord.Y	N	Ced.Vert
n.		cm	cm	daN	cm
009 (SLE rare)	1	0.000	0.000	-61480.0	0.000

Sollecitazioni:

Cmb	Tipo	Sism.	N	Tx	Ty	Mx	My
n.			daN	daN	daN	daN cm	daN cm
009	SLE rare	No	-61480.0	826.7	6756.5	418600.0	-99320.0

VALORI DI CALCOLO DELLA PORTANZA ORIZZONTALE PER FONDAZIONI PROFONDE

Elemento: 69 - Palo singolo

Cmb.	Tipo	Palo	coord.X	coord.Y	Ved	Mecc.	Mu	V lim	Ver.V
n.	Stato	n.	cm	cm	daN	-	daN cm	daN	
003	SLU STR	1	0.000	0.000	8483.6	P. Lungo	5059707.0	26447.7	0,321

Ver. OK

Sollecitazioni:

Cmb	Tipo	Sism.	N	Tx	Ty	Mx	My
n.			daN	daN	daN	daN cm	daN cm
003	SLU STR	No	-61570.0	-421.6	8473.1	399300.0	79510.0

Elemento: 76 - Palo singolo

Cmb.	Tipo	Palo	coord.X	coord.Y	Ved	Mecc.	Mu	V lim	Ver.V
n.	Stato	n.	cm	cm	daN	-	daN cm	daN	
003	SLU STR	1	0.000	0.000	8772.2	P. Lungo	5113141.0	27321.9	0,321

Ver. OK

Sollecitazioni:

Cmb	Tipo	Sism.	N	Tx	Ty	Mx	My
n.			daN	daN	daN	daN cm	daN cm
003	SLU STR	No	-63110.0	0.0	8772.2	394400.0	0.0

Elemento: 83 - Palo singolo

Cmb.	Tipo	Palo	coord.X	coord.Y	Ved	Mecc.	Mu	V lim	Ver.V
n.	Stato	n.	cm	cm	daN	-	daN cm	daN	
003	SLU STR	1	0.000	0.000	8483.6	P. Lungo	5059707.0	26447.7	0,321

Ver. OK

Sollecitazioni:

Cmb	Tipo	Sism.	N	Tx	Ty	Mx	My
n.			daN	daN	daN	daN cm	daN cm
003	SLU STR	No	-61570.0	421.6	8473.1	399300.0	-79510.0

Elemento: 216 - Palo singolo

Cmb.	Tipo	Palo	coord.X	coord.Y	Ved	Mecc.	Mu	V lim	Ver.V
n.	Stato	n.	cm	cm	daN	-	daN cm	daN	
003	SLU STR	1	0.000	0.000	9250.3	P. Lungo	5110023.0	25097.1	0,369

Ver. OK

Sollecitazioni:

Cmb	Tipo	Sism.	N	Tx	Ty	Mx	My
n.			daN	daN	daN	daN cm	daN cm
003	SLU STR	No	-63020.0	-920.6	9204.4	496100.0	126300.0

Elemento: 223 - Palo singolo

Cmb.	Tipo	Palo	coord.X	coord.Y	Ved	Mecc.	Mu	V lim	Ver.V
n.	Stato	n.	cm	cm	daN	-	daN cm	daN	

Committente: Edison Rinnovabili S.p.A. Foro Buonaparte 31 20121 Milano (MI)	PROGETTO PER LA REALIZZAZIONE DI UN PARCO EOLICO NEL COMUNE DI CERIGNOLA (FG) NELLE LOCALITA' "LA MOSCHELLA" E "BELLAVEDUTA"	Nome del file: CRE-CIV-REL-026_01
---	---	---

003 SLU STR 1 0.000 0.000 12100.0 P. Lungo 5324664.0 25353.4 0,477
 Ver. OK

Sollecitazioni:

Cmb	Tipo	Sism.	N	Tx	Ty	Mx	My
n.			daN	daN	daN	daN cm	daN cm
003	SLU STR	No	-69250.0	0.0	12100.0	700600.0	0.0

Elemento: 230 - Palo singolo

Cmb.	Tipo	Palo	coord.X	coord.Y	Ved	Mecc.	Mu	V lim	Ver.V
n.	Stato	n.	cm	cm	daN	-	daN cm	daN	
003	SLU STR	1	0.000	0.000	9250.3	P. Lungo	5110023.0	25097.1	0,369

Ver. OK

Sollecitazioni:

Cmb	Tipo	Sism.	N	Tx	Ty	Mx	My
n.			daN	daN	daN	daN cm	daN cm
003	SLU STR	No	-63020.0	920.6	9204.4	496100.0	-126300.0

Elemento: 363 - Palo singolo

Cmb.	Tipo	Palo	coord.X	coord.Y	Ved	Mecc.	Mu	V lim	Ver.V
n.	Stato	n.	cm	cm	daN	-	daN cm	daN	
003	SLU STR	1	0.000	0.000	9844.4	P. Lungo	5056232.0	23989.8	0,410

Ver. OK

Sollecitazioni:

Cmb	Tipo	Sism.	N	Tx	Ty	Mx	My
n.			daN	daN	daN	daN cm	daN cm
003	SLU STR	No	-61470.0	-907.7	9802.5	582100.0	103300.0

Elemento: 370 - Palo singolo

Cmb.	Tipo	Palo	coord.X	coord.Y	Ved	Mecc.	Mu	V lim	Ver.V
n.	Stato	n.	cm	cm	daN	-	daN cm	daN	
003	SLU STR	1	0.000	0.000	10610.0	P. Lungo	5106904.0	23997.1	0,442

Ver. OK

Sollecitazioni:

Cmb	Tipo	Sism.	N	Tx	Ty	Mx	My
n.			daN	daN	daN	daN cm	daN cm
003	SLU STR	No	-62930.0	0.0	10610.0	646900.0	0.0

Elemento: 377 - Palo singolo

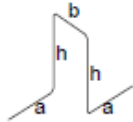
Cmb.	Tipo	Palo	coord.X	coord.Y	Ved	Mecc.	Mu	V lim	Ver.V
n.	Stato	n.	cm	cm	daN	-	daN cm	daN	
003	SLU STR	1	0.000	0.000	9844.4	P. Lungo	5056232.0	23989.8	0,410

Ver. OK

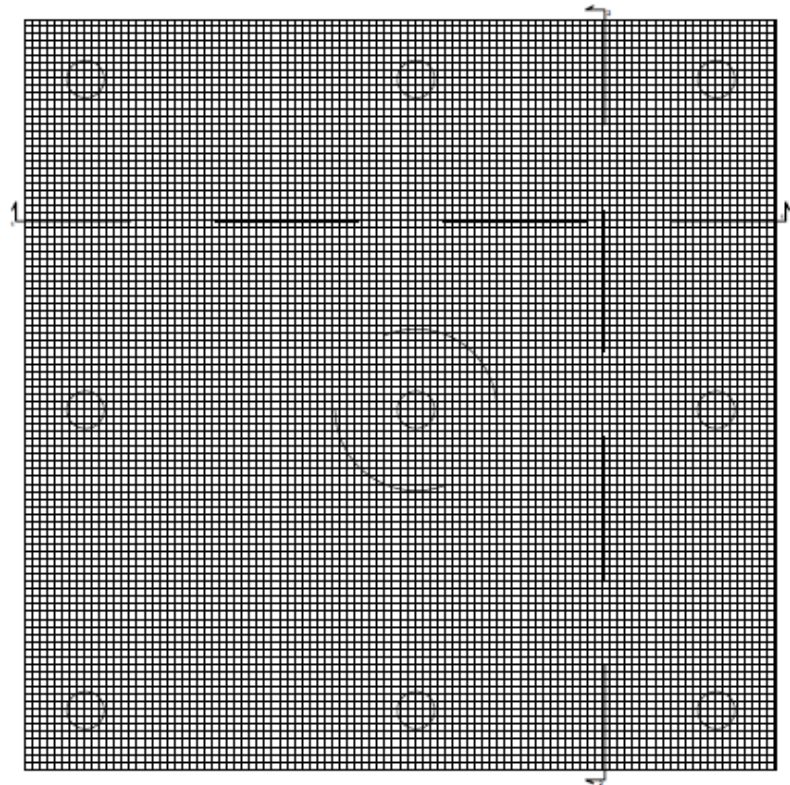
Sollecitazioni:

Cmb	Tipo	Sism.	N	Tx	Ty	Mx	My
n.			daN	daN	daN	daN cm	daN cm
003	SLU STR	No	-61470.0	907.7	9802.5	582100.0	-103300.0

Armatura diffusa lato superiore



Assonometria cavalletti distanziatori Ø 12
a=24 cm, b=18cm, h=394 cm
4 per mq, (1/50 dir.1, 1/50 dir.2)



Armatura diffusa lato inferiore



Armatura a taglio

Armatura per punzonamento (misure in mm):

$N \times \text{ØD} - L / n$ (d1+d2)

N - numero complessivo di listelli

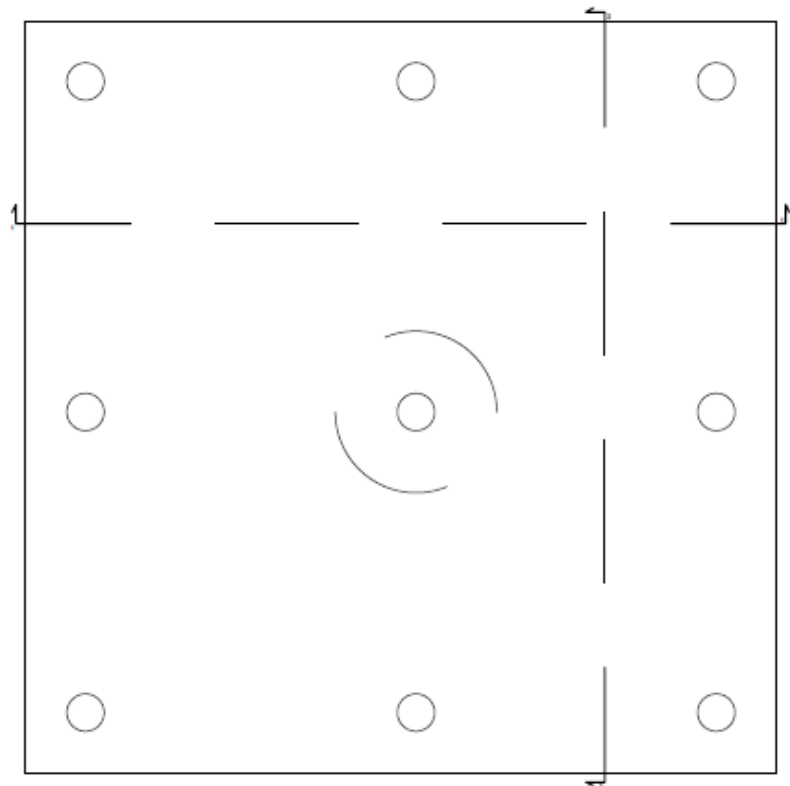
D - diametro dei pioli con testa a martello

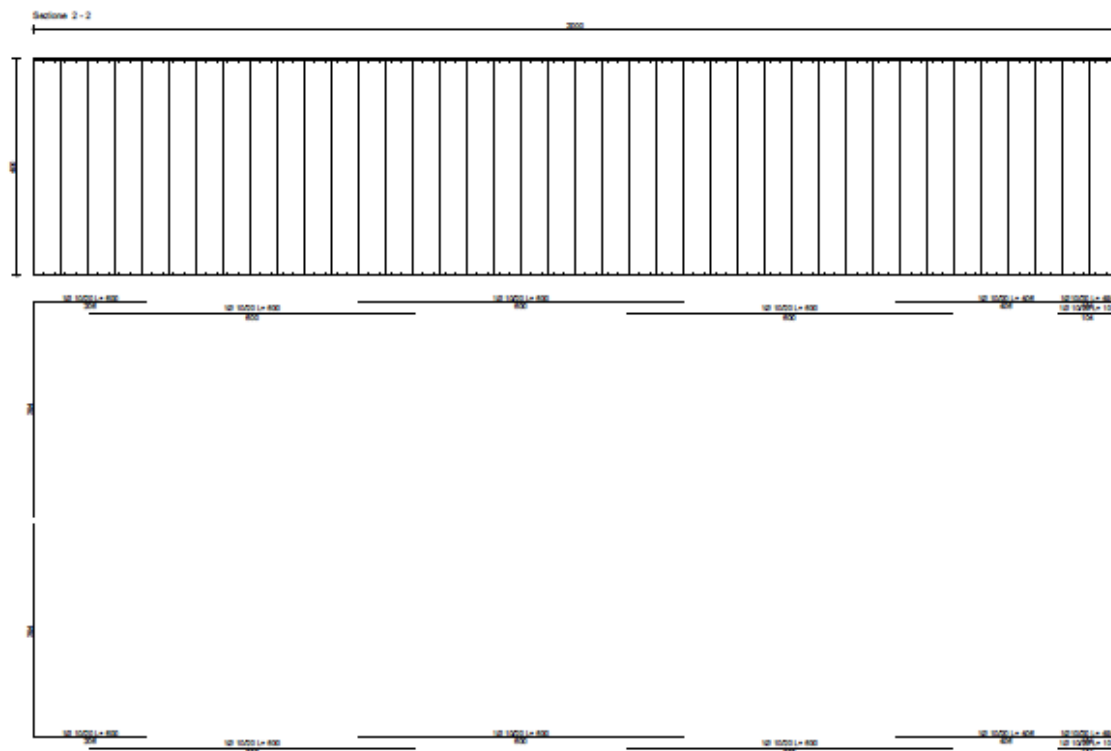
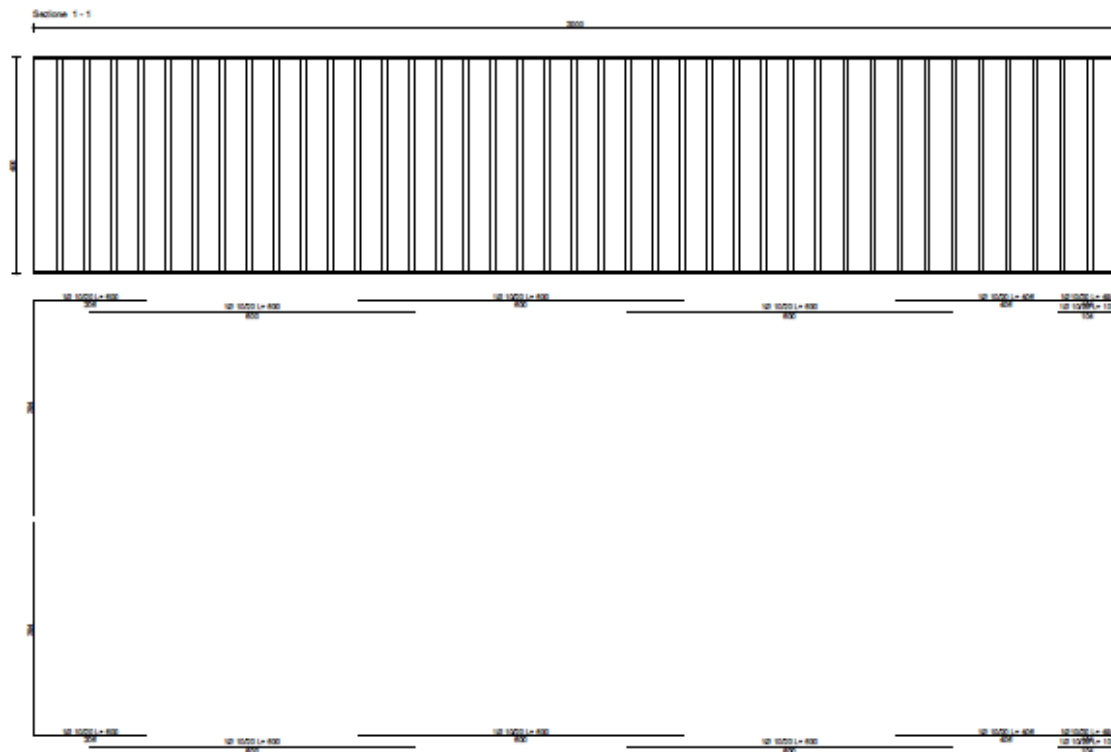
L - lunghezza dei pioli

n - numero dei pioli per listello

d1 - distanza del primo piolo dal bordo pilastro

d2 - distanza tra i successivi pioli per numero di pioli rimanenti





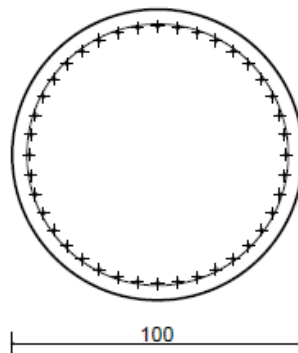
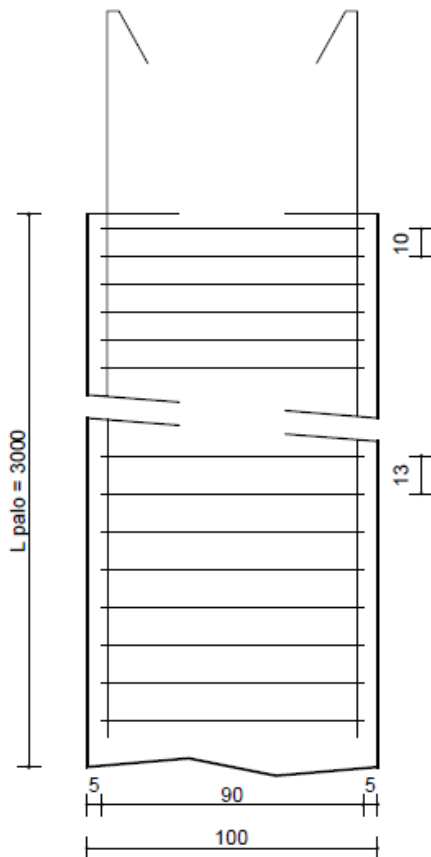
Particolare costruttivo del palo di fondazione

PALO TIPO

Pos.	Num.	D.(mm)	L (cm)	Peso (kg)
1	1	Ø 8	68905	271,9
2	17	Ø 16	3080	826,4
3	23	Ø 16	1088	395,0

Peso acciaio pali = 1493,3 kg

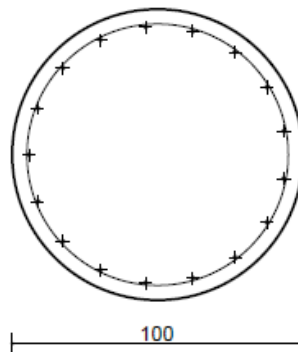
Volume calcestruzzo pali = 23,6 mc



Sezione palo da:

quota 0,0 a quota -1000,0

- ① St. circolari Ø8 / 9.6, L = 331
- ② 17Ø16 L = 3080
- ③ 23Ø16 L = 1090



Sezione palo da:

quota -1000,0 a quota -3000,0

- ① St. circolari Ø8 / 13, L = 331
- ② 17Ø16 L = 3080